

# Geological hazards of the Eastern Gulf of Finland coastal zone

## Опасные геологические процессы береговых зон восточной части Финского залива

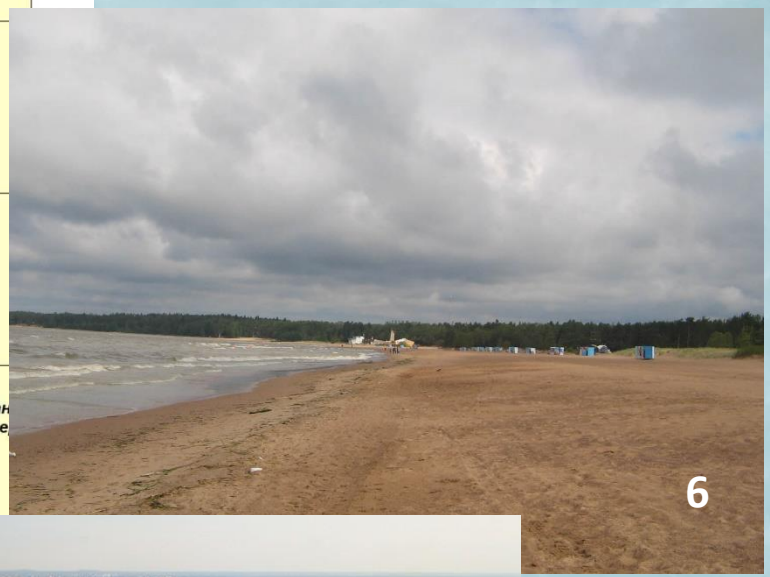
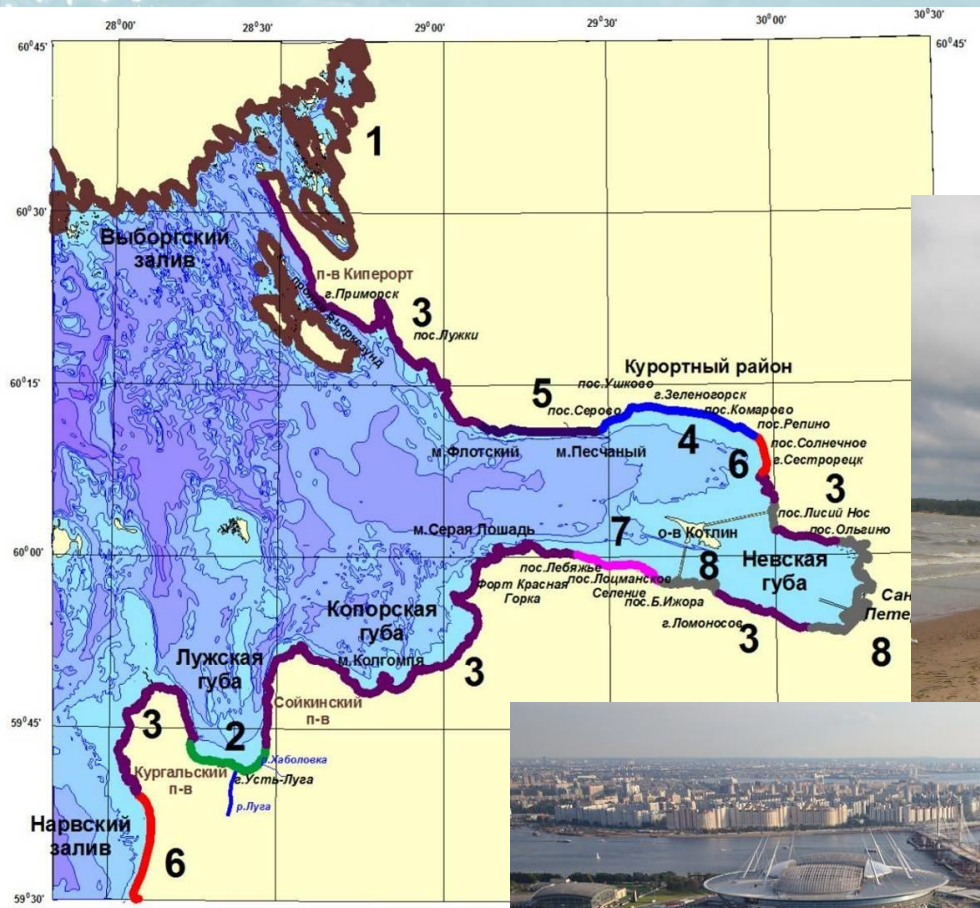
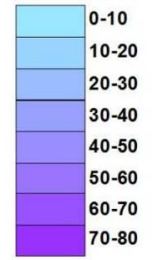
Daria Ryabchuk, Vladimir Zhamoida, Alexander Sergeev.  
Olga Kovaleva (VSEGEI, Russia)

Igor Leont'ev (IO RAS, Russia), Kaarel Orviku (Tartu University, Estonia)

Д.В.Рябчук, В.А.Жамойда, А.Ю. Сергеев, О.А.Ковалева (ВСЕГЕИ),  
И.О.Леонтьев (ИО РАН), Каарел Орвику (Университет Тарту, Эстония)

- 1
- 2
- 3
- 4
- 5
- 6
- 7
- 8

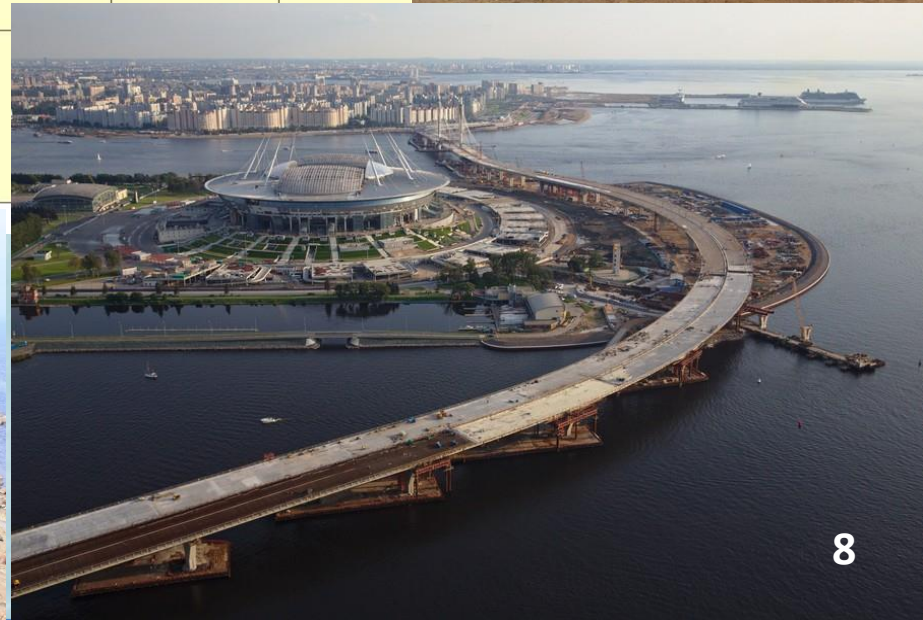
Шкала глубин



6

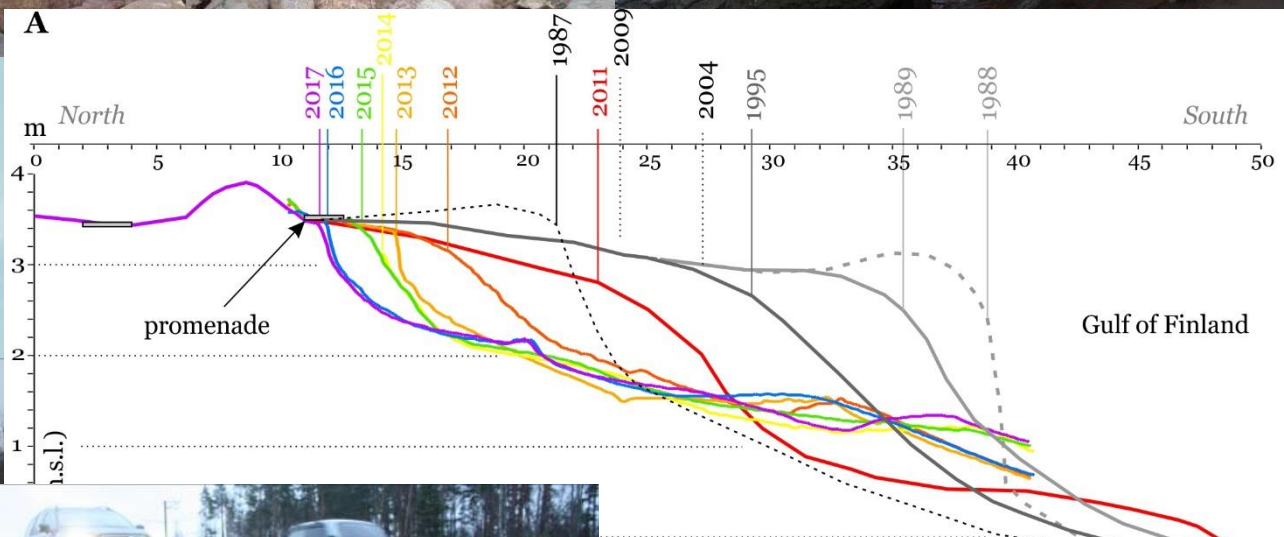
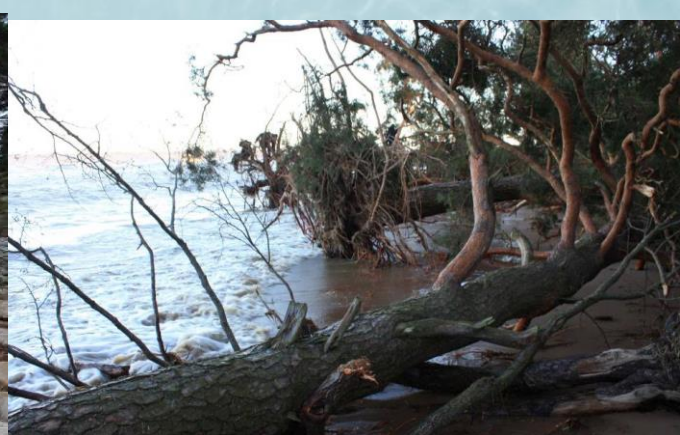


4



8







# Main goals of coastal processes analyses

## Основные задачи исследования береговых зон

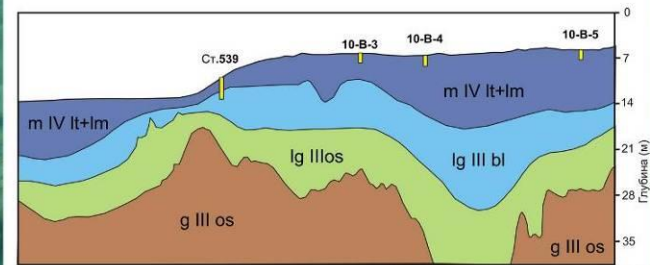
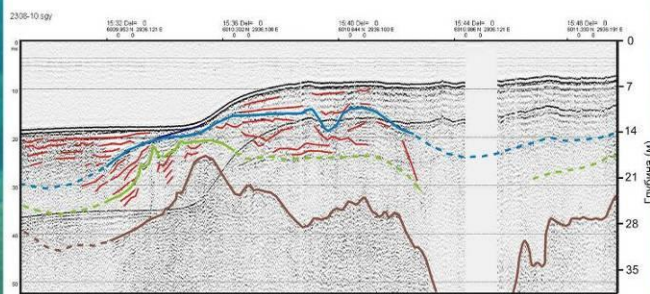
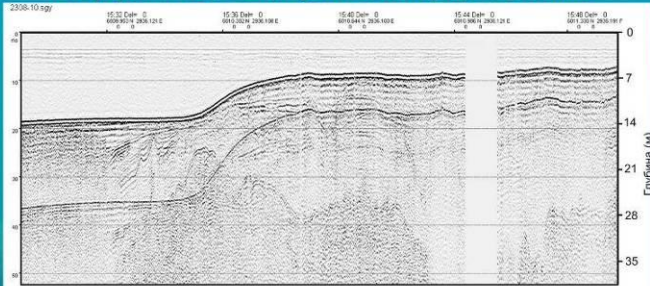
- 1. Study of coastal zone evolution in Holocene and revealing of main natural factors controlled long-term coastal development.** Анализ эволюции береговых зон в голоцене и выявление природных факторов, контролирующих долговременные тренды формирования и развития береговых зон
- 2. Study and monitoring of recent coastal processes (e.g. geological hazards) (dominated trends, intensity, natural and anthropogenic driving forces).** Изучение современных береговых процессов (в том числе, потенциально опасных)(основные тенденции, интенсивность, природные и антропогенные факторы, воздействующие на них)
- 3. Prediction of future coastal development and recommendations for risk mitigation.** Прогноз развития и рекомендации снижения рисков воздействия в будущем



# Методы исследования и мониторинга береговых зон

## Coastal zone study methods

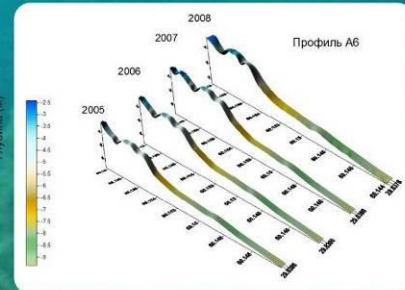
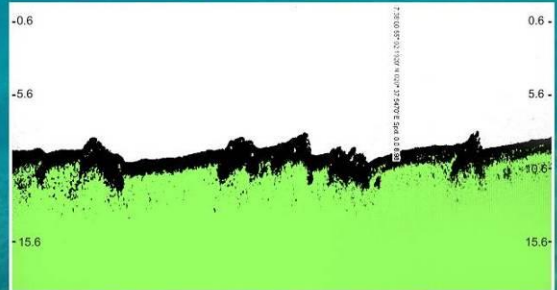
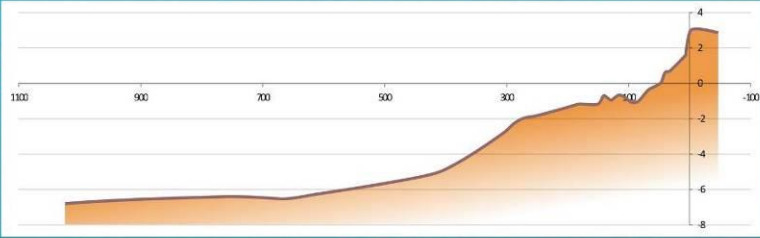
### Непрерывное сейсмоакустическое профилирование



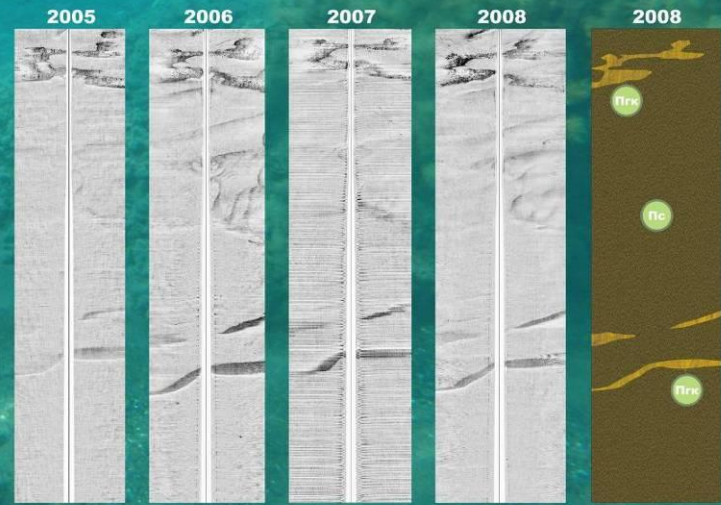
- m IV lt+lm** Морские литоральные - постлиторальные отложения. Пески, алевролитовые илы.
- lg III bl** Ледниково-озерные отложения Балтийского ледникового озера. Глины, тонкослойные глины.
- lg III os** Ледниково-озерные отложения местных приледниковых озер. Ленточные глины.
- g III os** Ледниковые отложения - морена. Моренные суплини, супеси.
- 10-B-5** Станция неглубокого (интерпретационного) бурения



поверхность дна, построенный на основе эхолотного профилирования



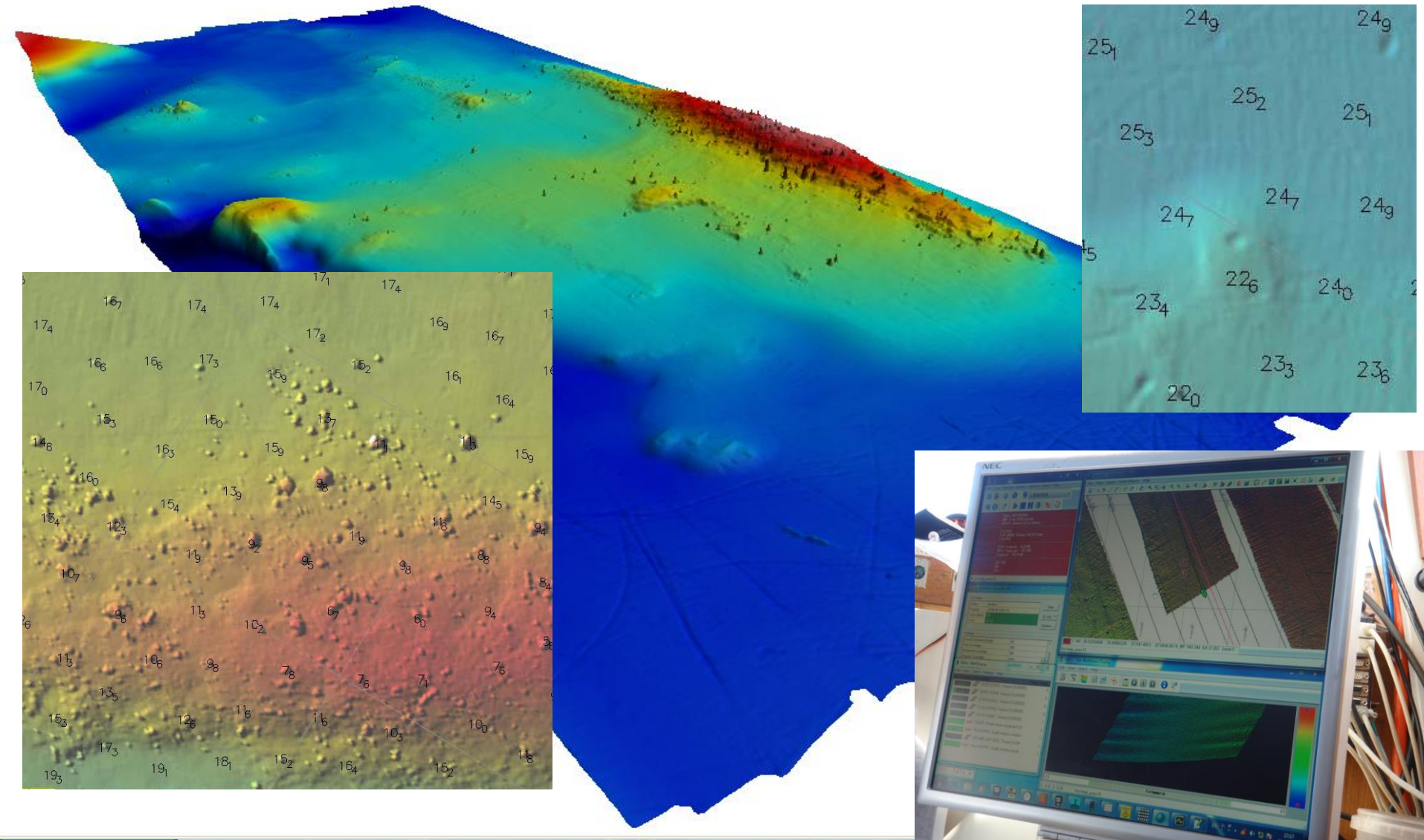
Мониторинг распределения поверхностных донных отложений при помощи ГЛБО



Гидролокация бокового обзора



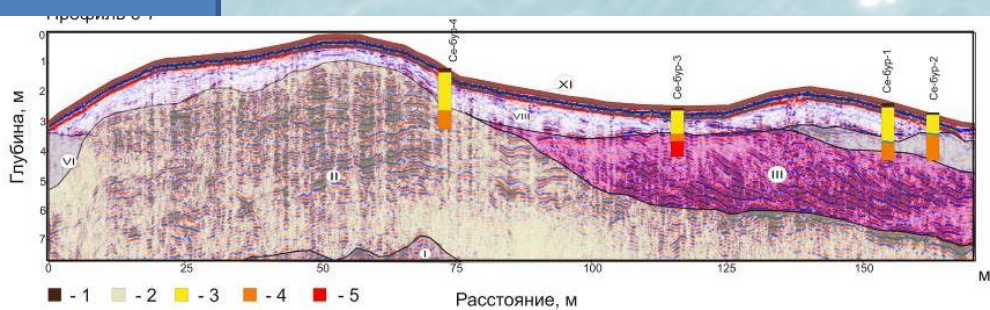
# Многолучевое эхолотирование Multibeam echosounding



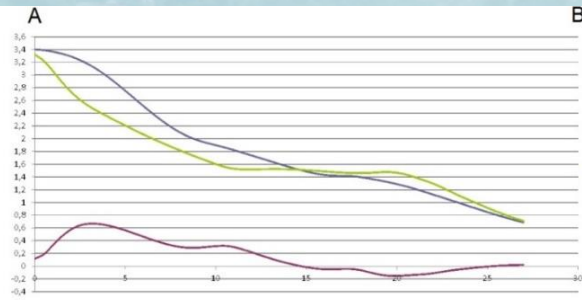
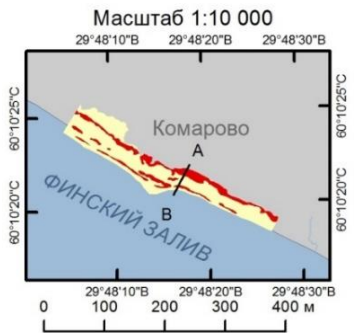


# Ground penetration radar profiling

# Георадиолокационное профилирование



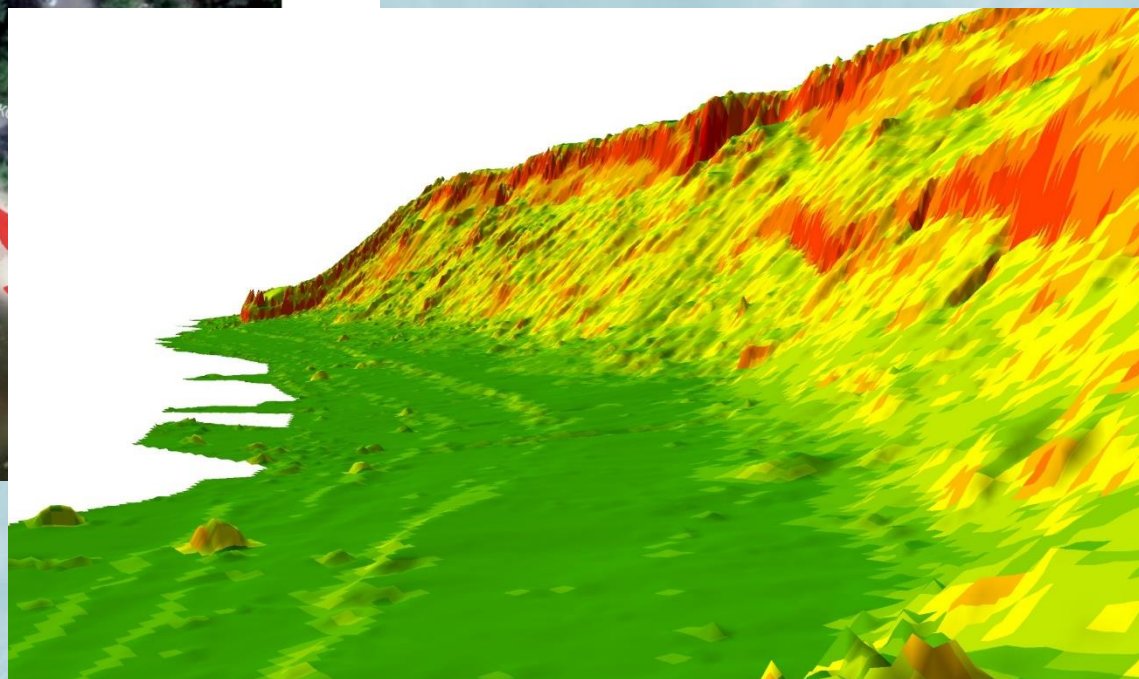
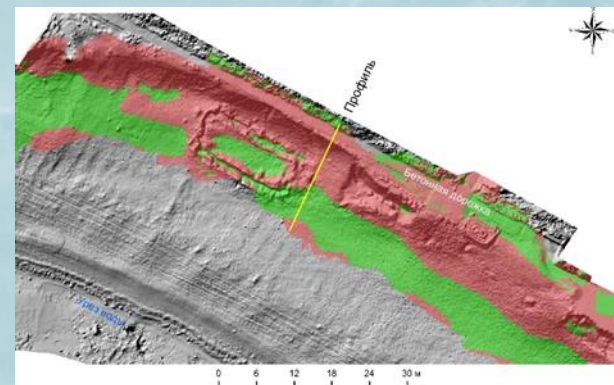




Профиль рельефа пляжа и разница между двумя профилями по линии А - В

### Опасные геологические процессы

■ Размыв ■ Отсутствие процесса размыва и локальная аккумуляция

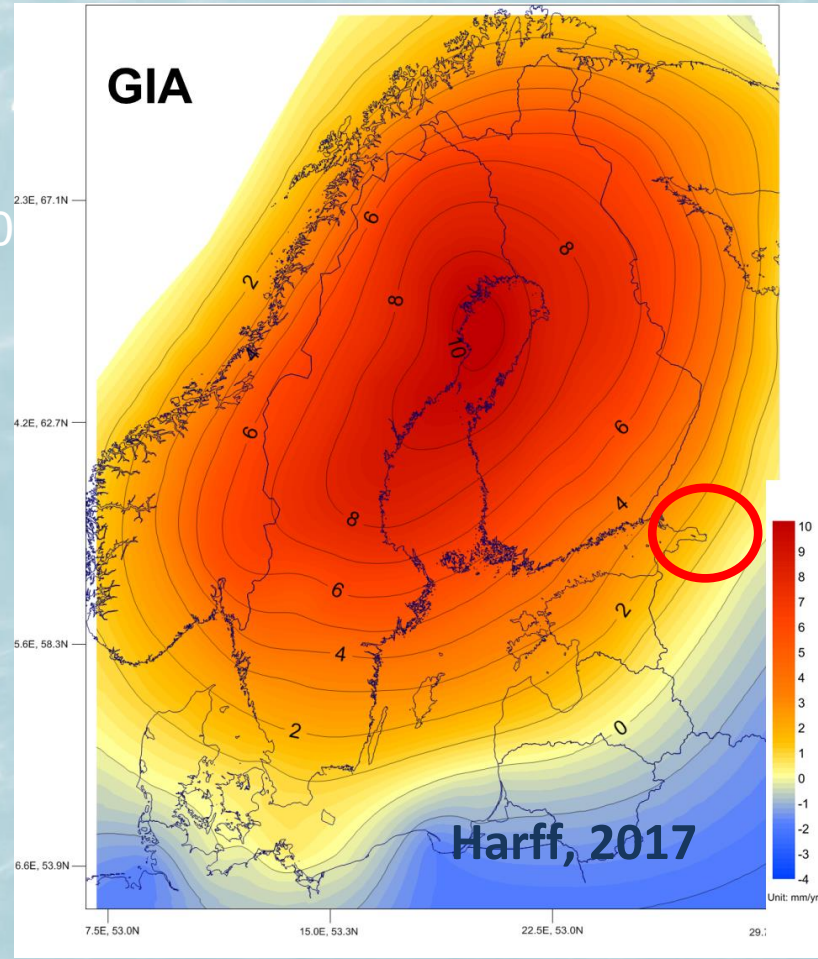
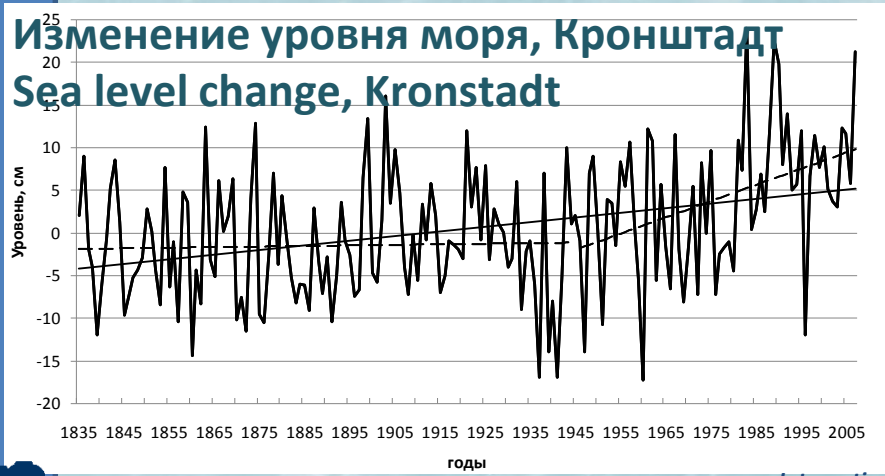
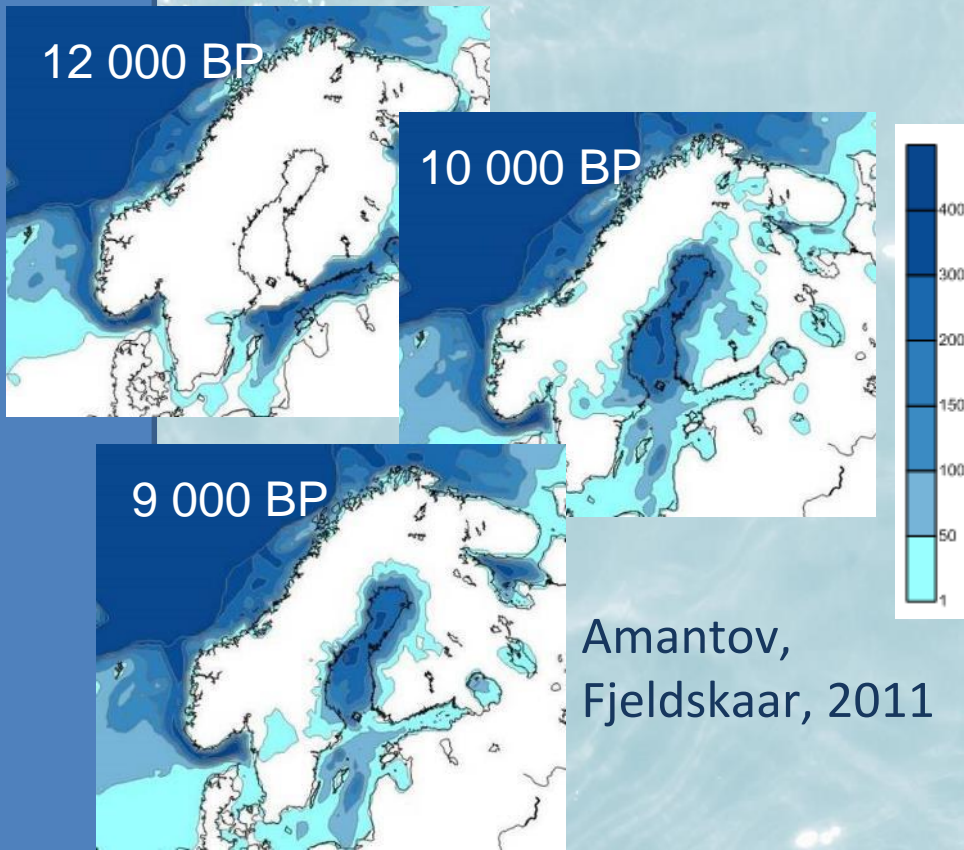




# **Main factors controlled costal processes**

## **Основные факторы, определяющие развитие береговых процессов**

- 1. Geological structure and relief**  
Геологическое строение и рельеф
- 2. Tectonics**  
Тектонический режим
- 3. Hydrodynamics**  
Гидродинамическое воздействие
- 4. Anthropogenic impact**  
Техногенное воздействие

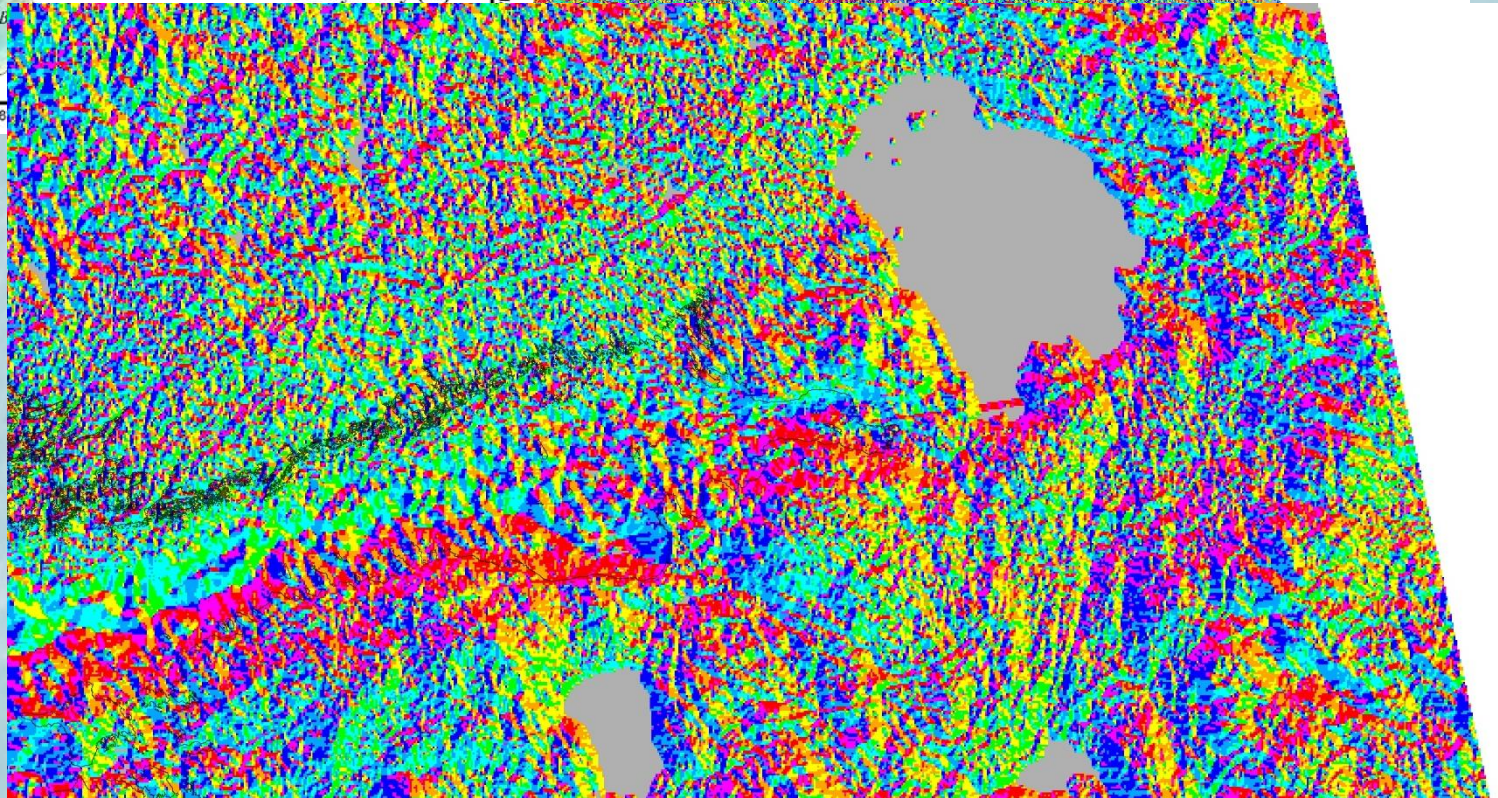
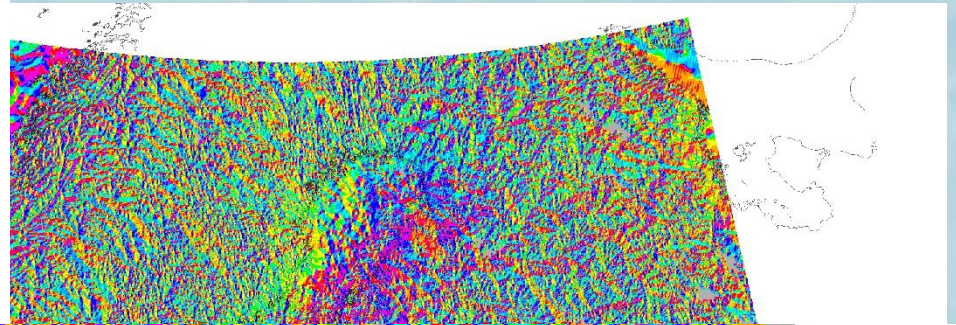
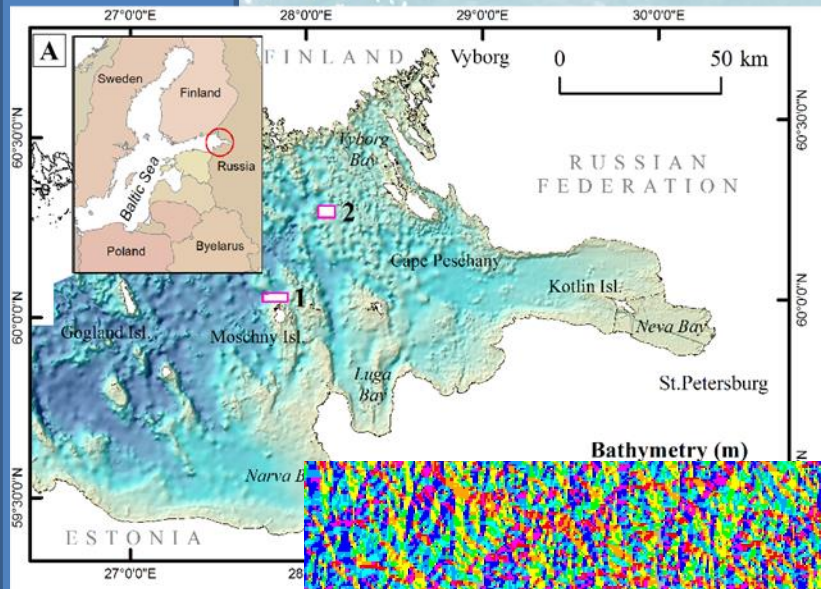


Скорости гляциоизостатического  
выравнивания  
Rated of glacioisostatic rebound

Gorgeeva, Malinin, 2016



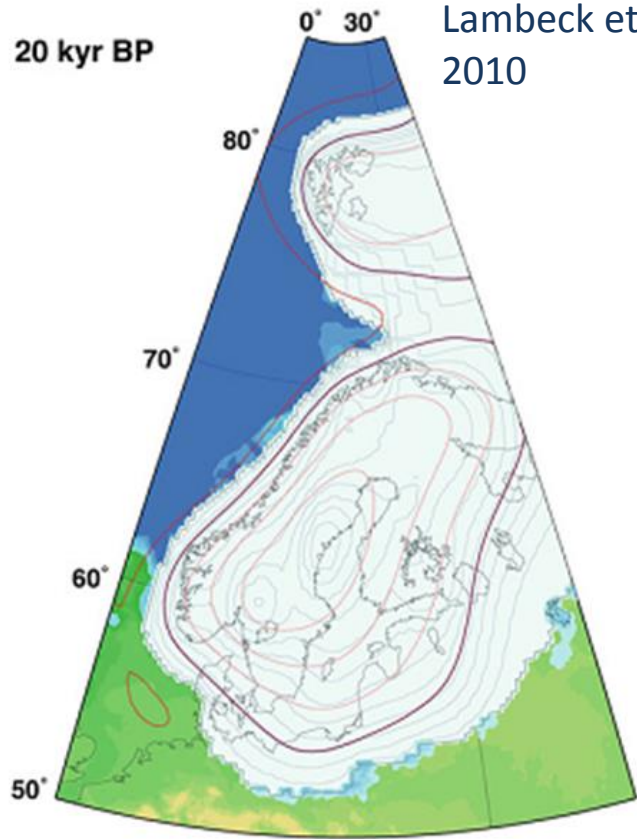
# Aspect relief map of Baltics Region Схема направления уклонов Балтийского региона





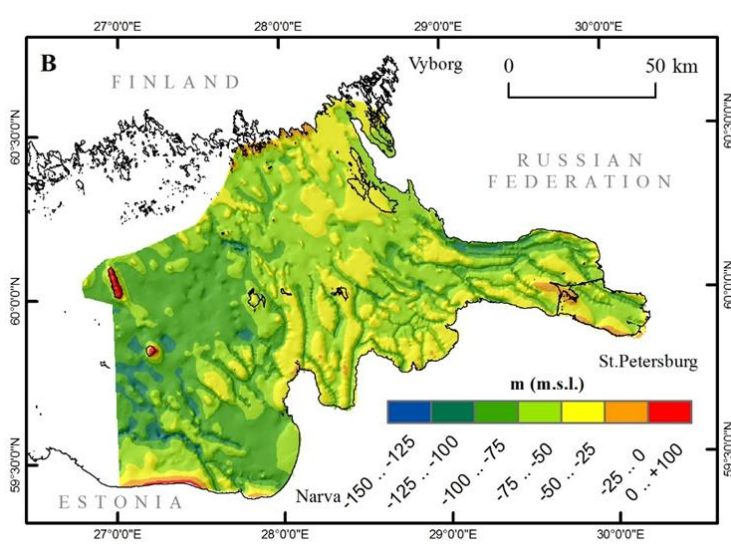
20 kyr BP

Lambeck et al.  
2010



КАРТА МОРФОГЕНЕТИЧЕСКИХ ТИПОВ  
MAP OF MORPHOGENETIC TYPES

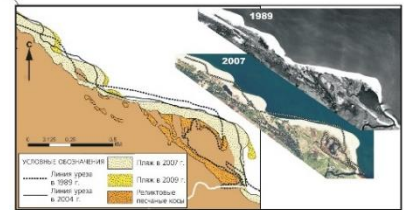
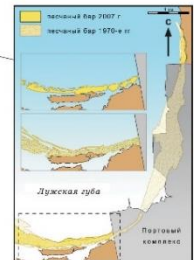
Масштаб (Scale) 1 : 700 000



Coasts with sand dunes  
Coasts with sand dunes  
Coasts with sand dunes

Coast scarp higher than 3 m

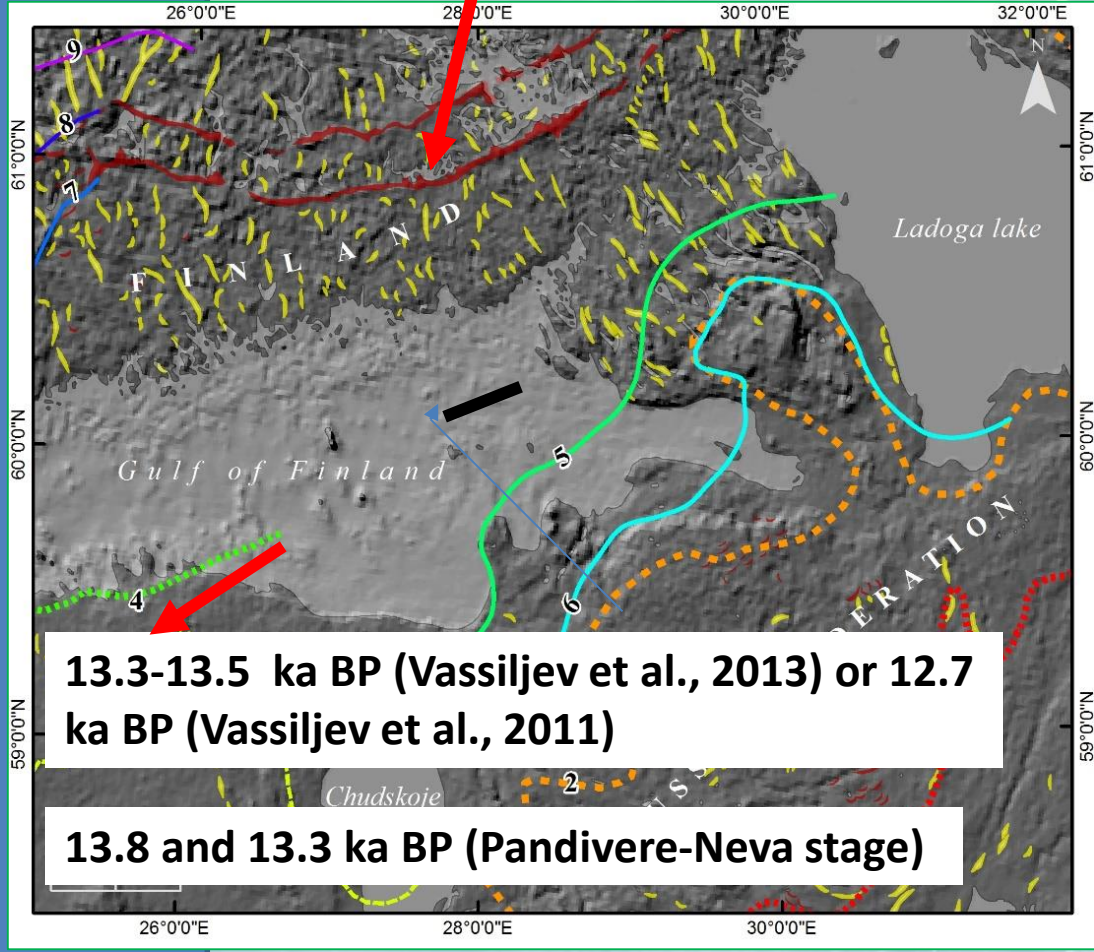
# Ледниковая экзарация Glacial erosion





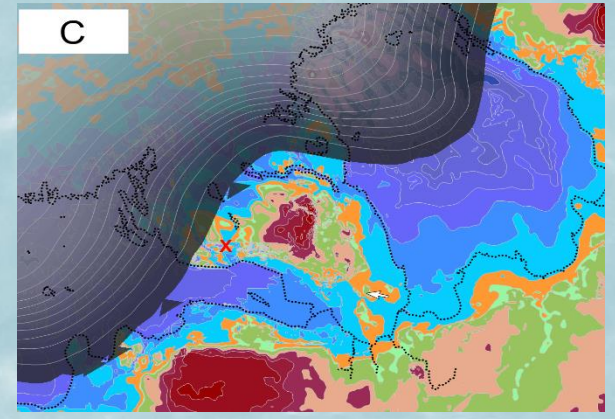
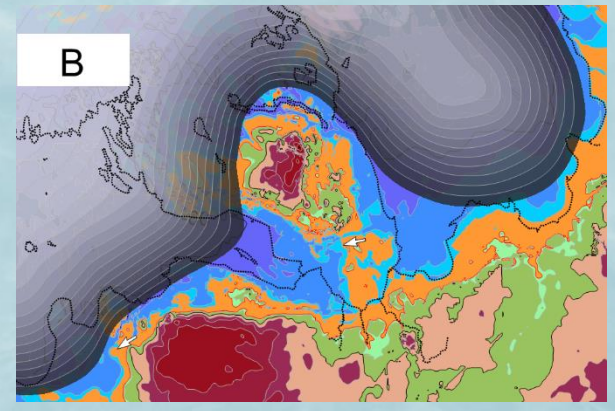
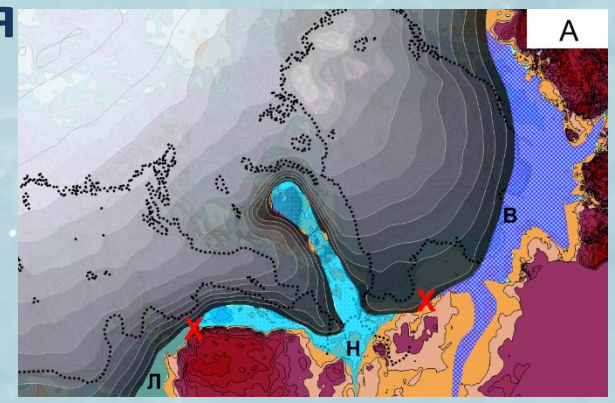
# Ледниковая и последниковая аккумуляция Glacial and fluvio-glacial accumulation

12.25 ka BP (Salpausselkä I stage)



13.3-13.5 ka BP (Vassiljev et al., 2013) or 12.7 ka BP (Vassiljev et al., 2011)

13.8 and 13.3 ka BP (Pandivere-Neva stage)



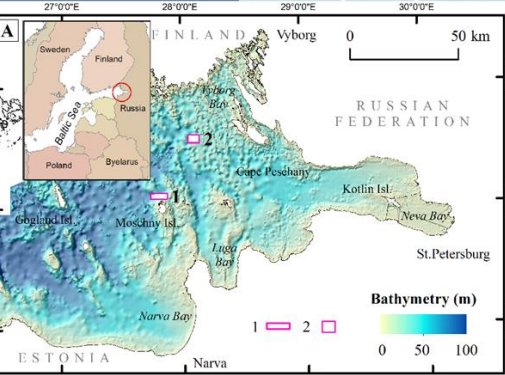
Amantov, Amantova, 2017

Vassiljev J. et al., 2011; 2013;  
Saarnisto, M.; Saarinen, T., 2001

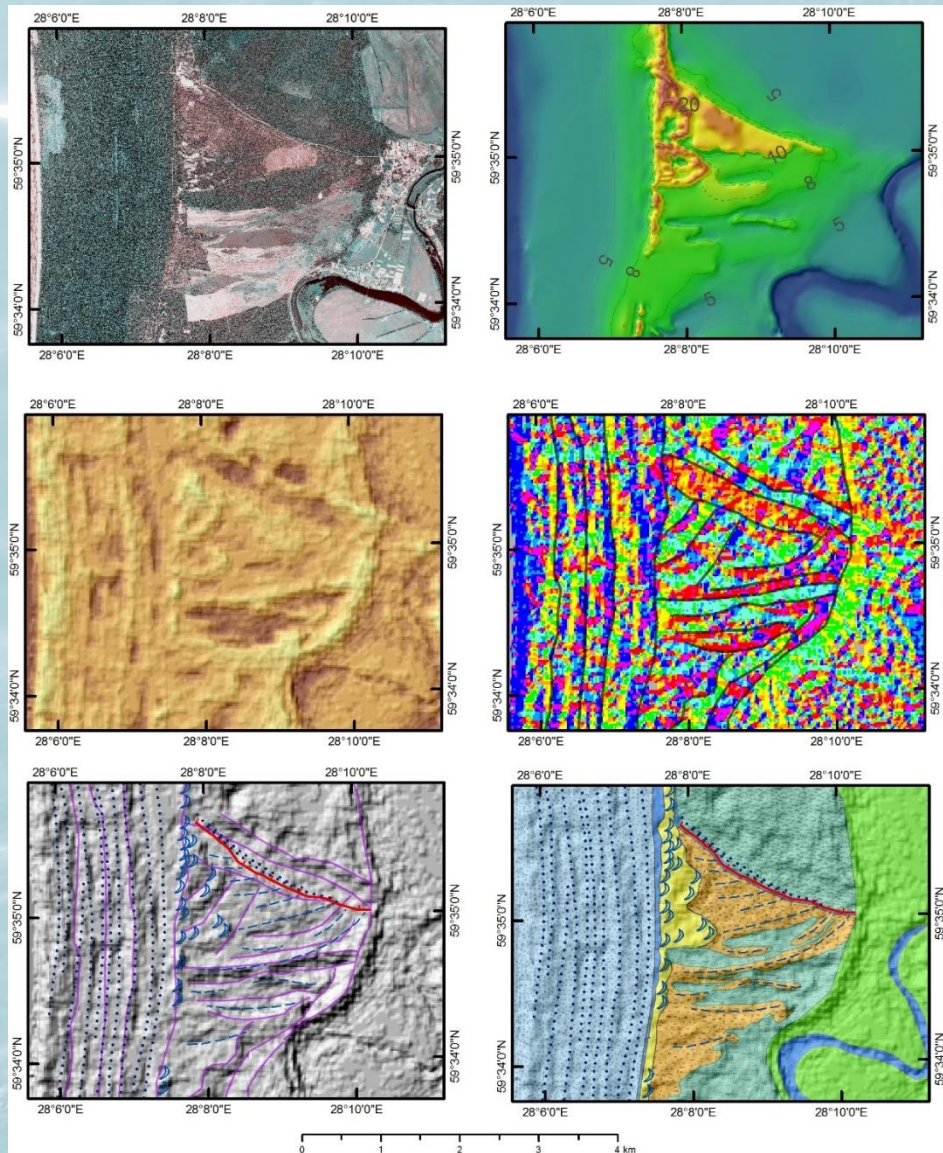
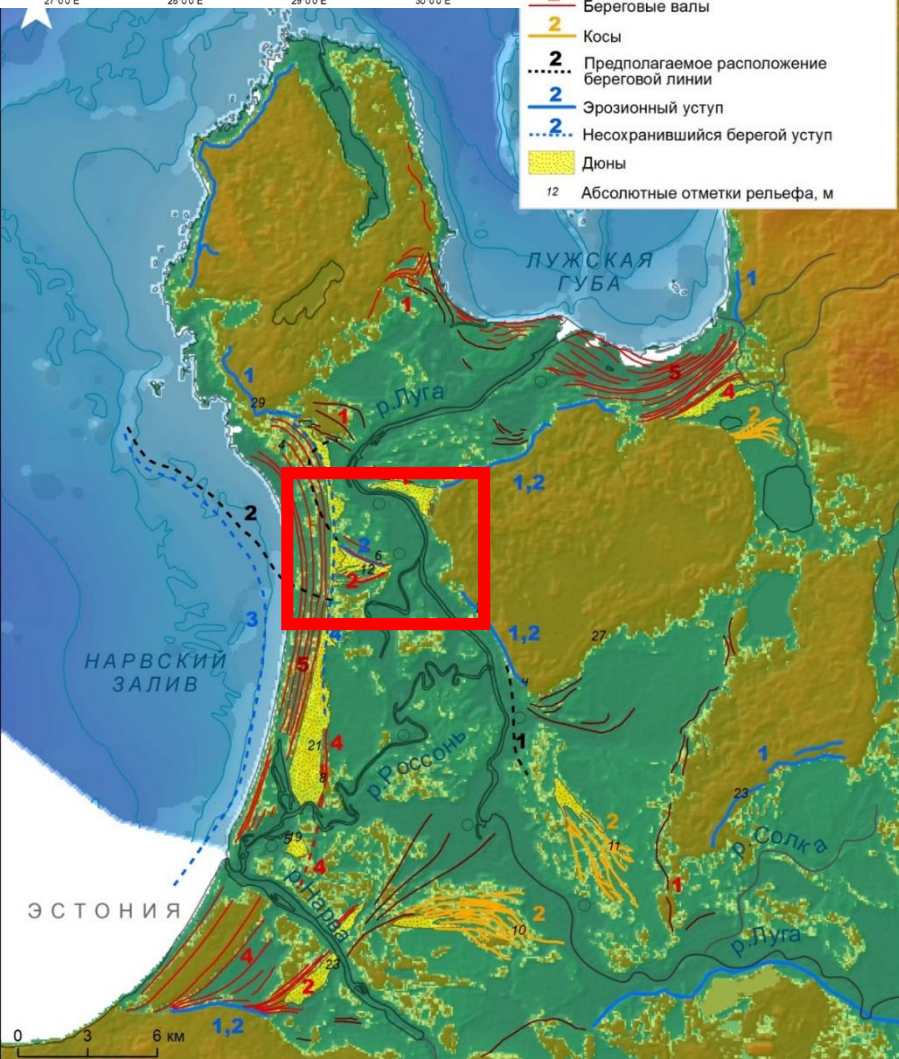


# Narva-Luga Klint Bay

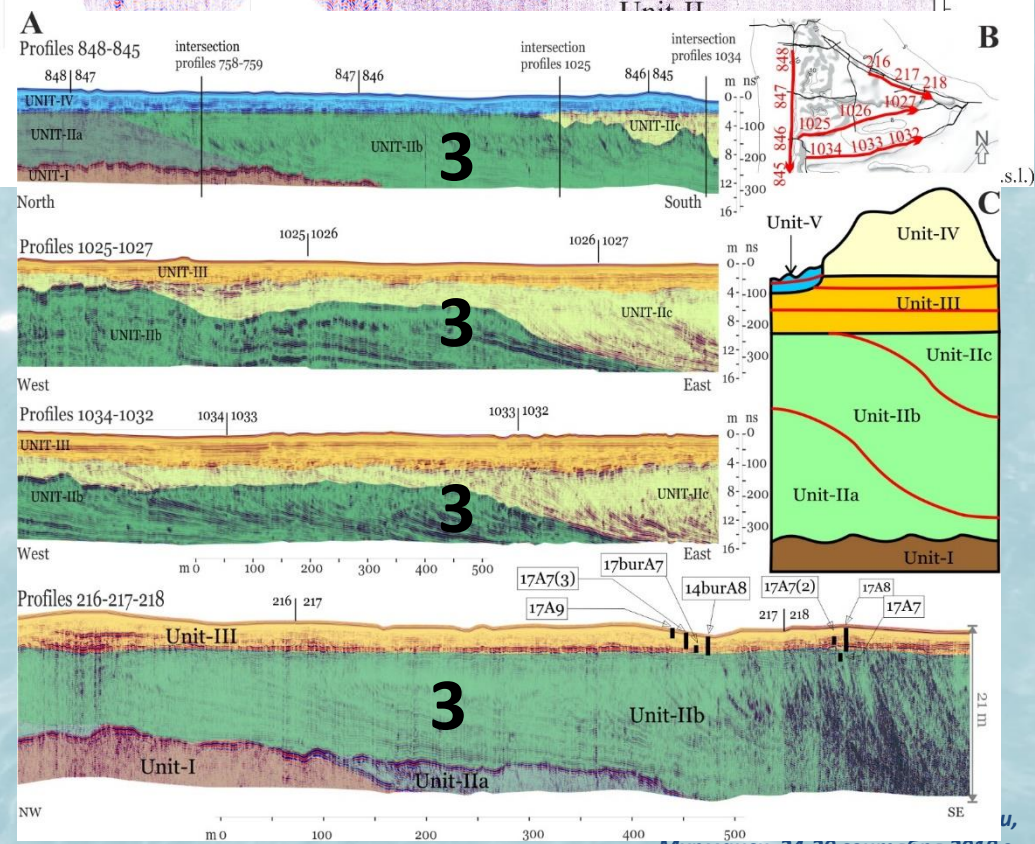
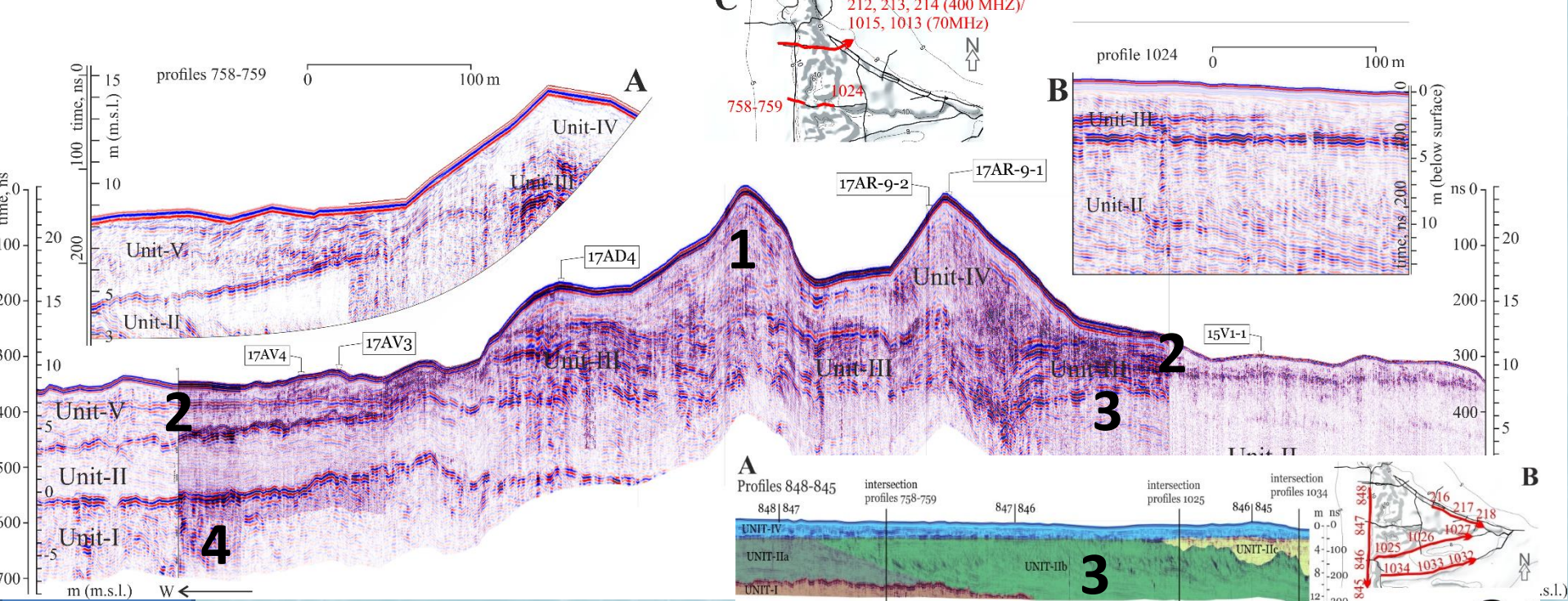
## Нарвско-Лужская предглинтовая низменность



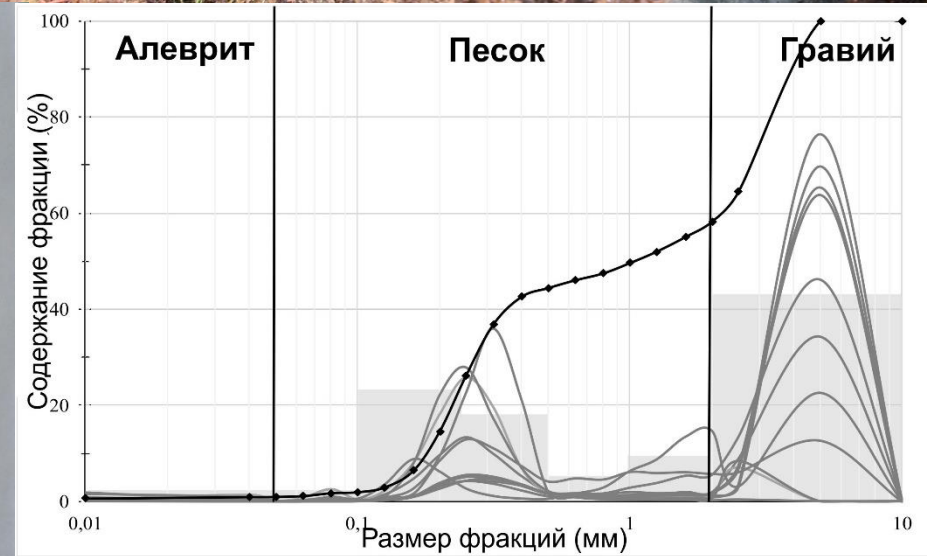
- 2 Предположительные береговые формы
- 2 Береговые валы
- 2 Косы
- 2 Предполагаемое расположение береговой линии
- 3 Эрозионный уступ
- 2 Несохранившийся берег уступ
- 2 Дюны
- 12 Абсолютные отметки рельефа, м







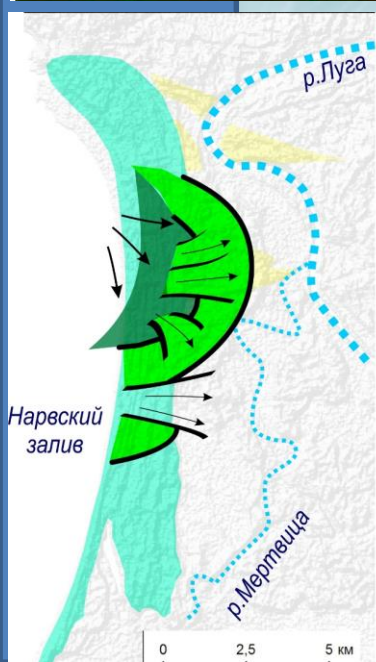
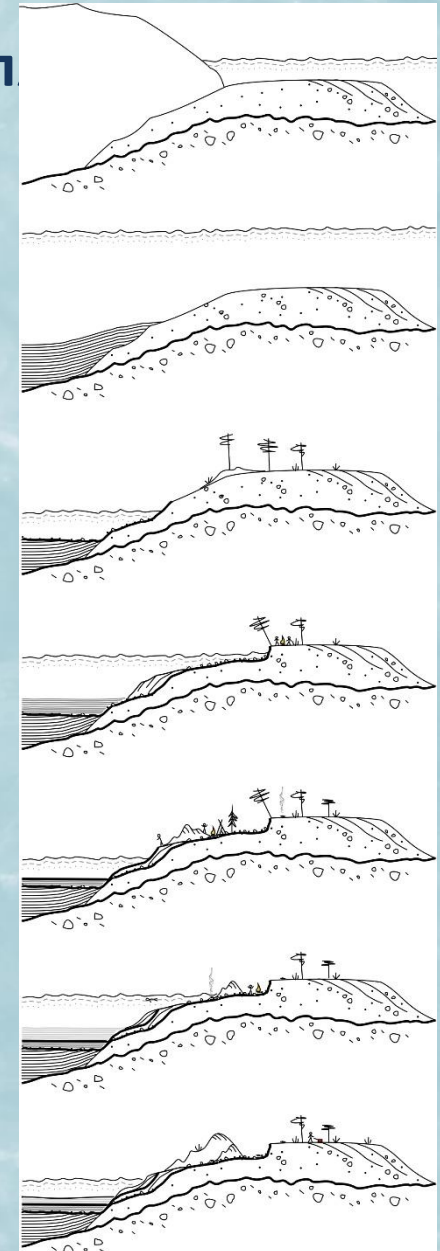
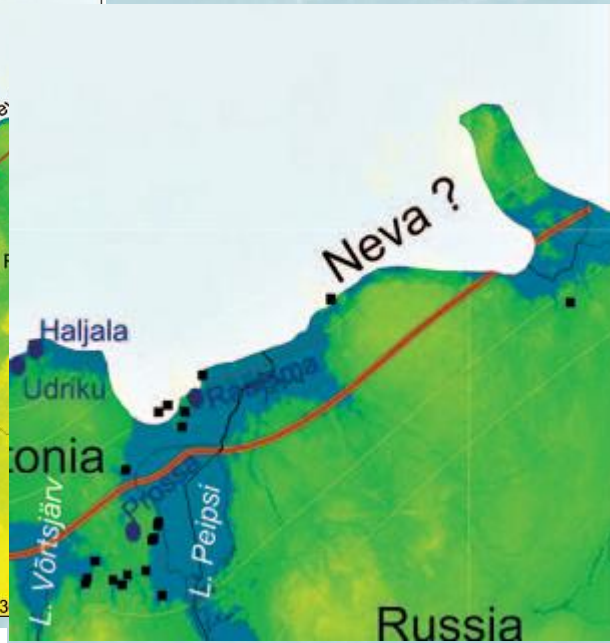






# Glacial and fluvioglacial accumulation Ледниковая и последниковая аккумуляция

BIL 14 000 cal yr BP



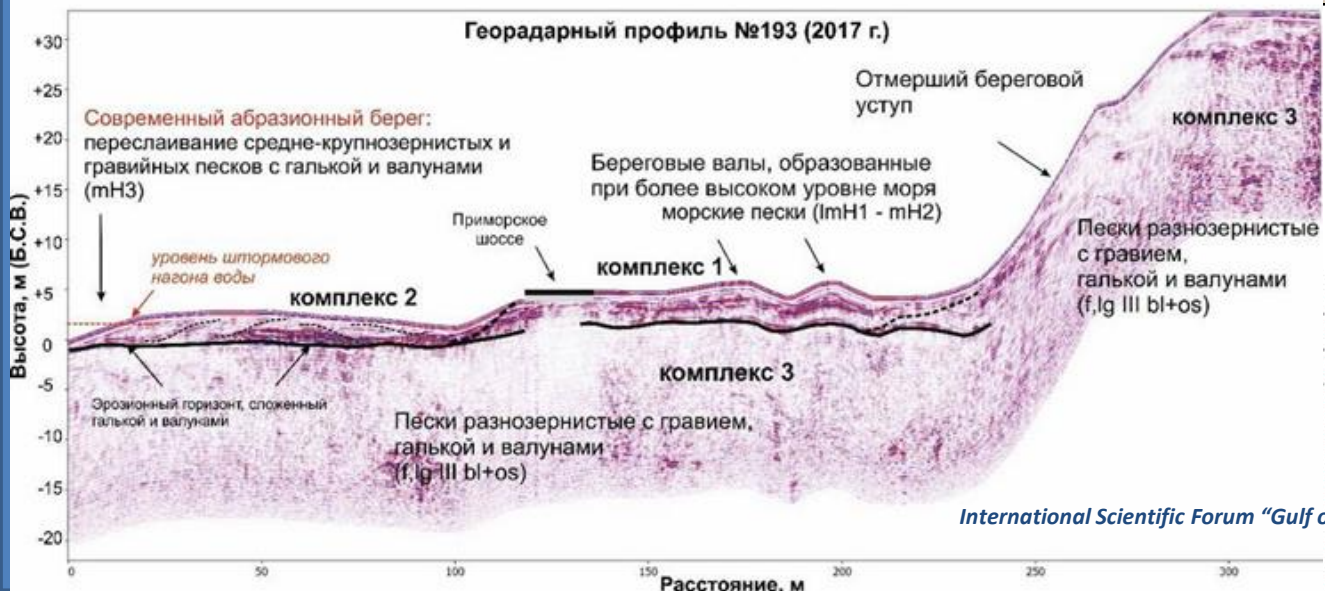
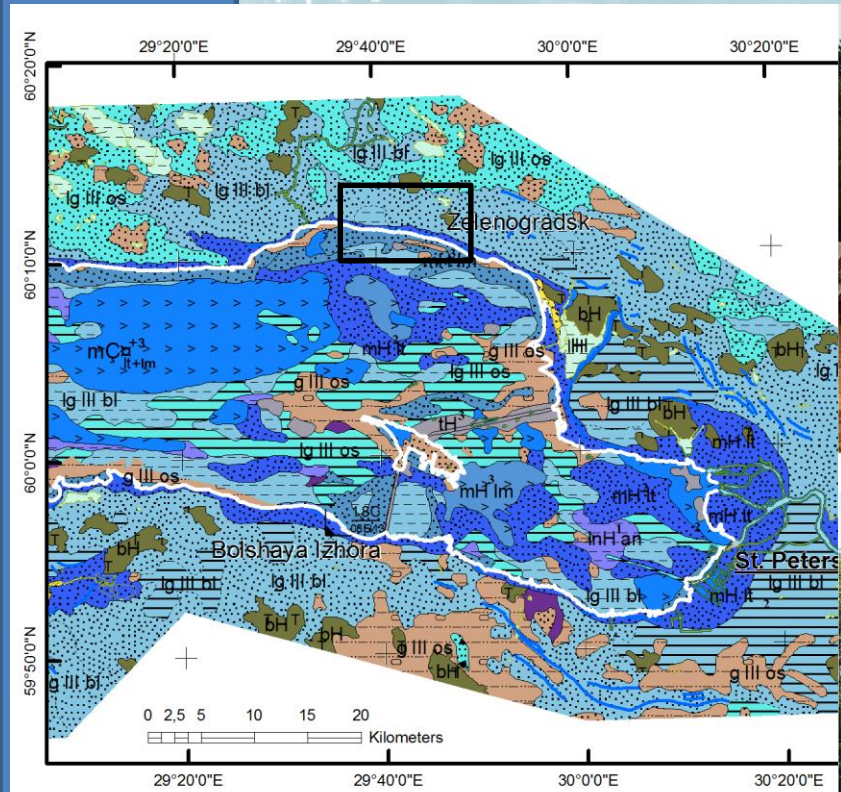
Схематичный разрез



- Отложения флювиогляциальной дельты верхней пачки
- Отложения флювиогляциальной дельты нижней пачки
- Площадь развития вдольбереговых голоценовых песчаных валов
- Площадь развития аккумулятивных форм (песчаные косы)
- Преобладающее направление поступления песчаного материала

Segreev et al., 2018,  
in preparation





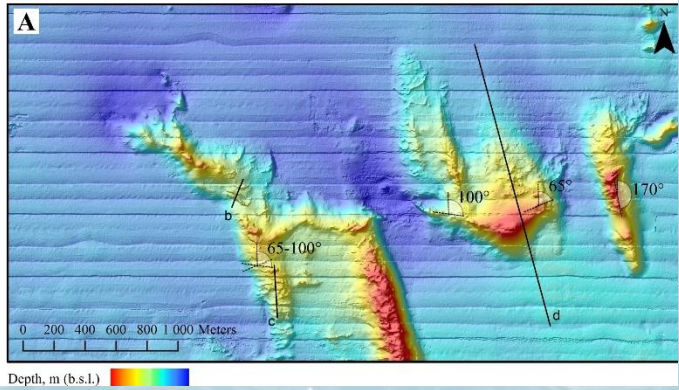
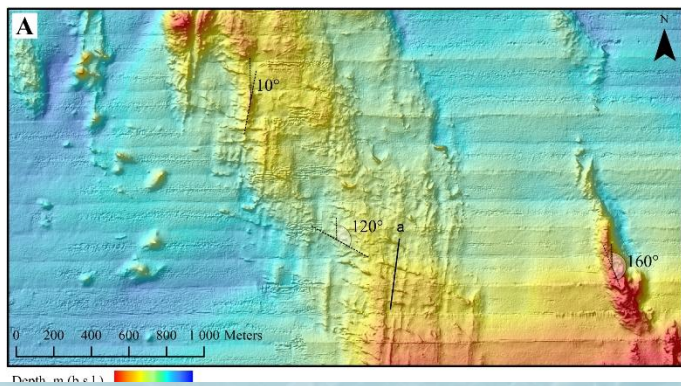
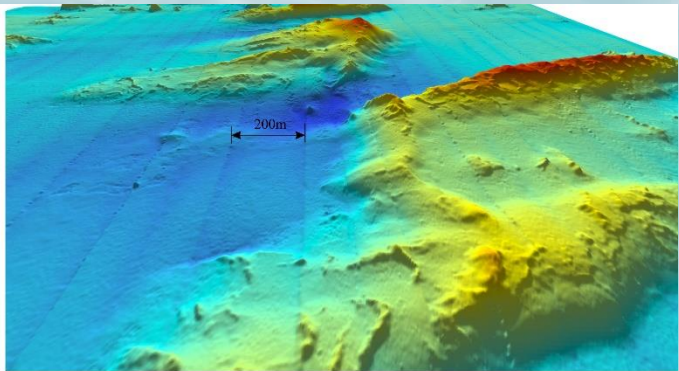
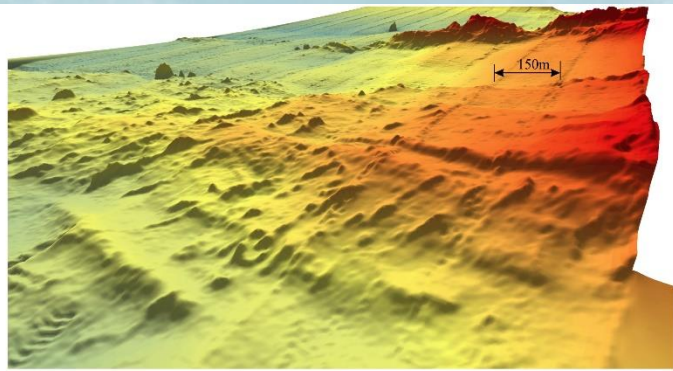
**Erosion escarpment of Littorina transgression in Pleistocene sands**  
**Абразионный уступ**  
**Литориновой трансгрессии в песчаных водно-ледниковых отложениях (пос. Серово)**



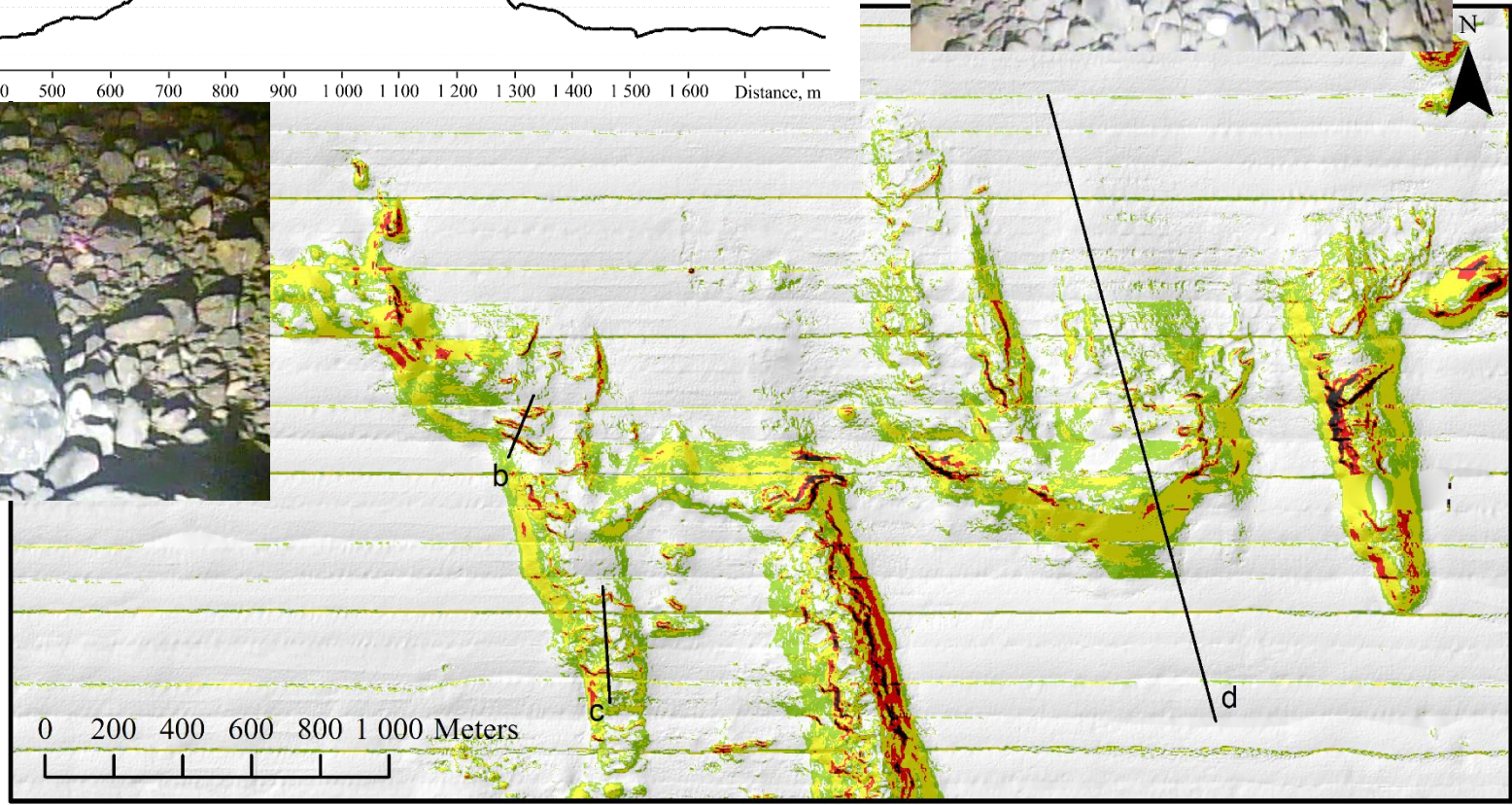
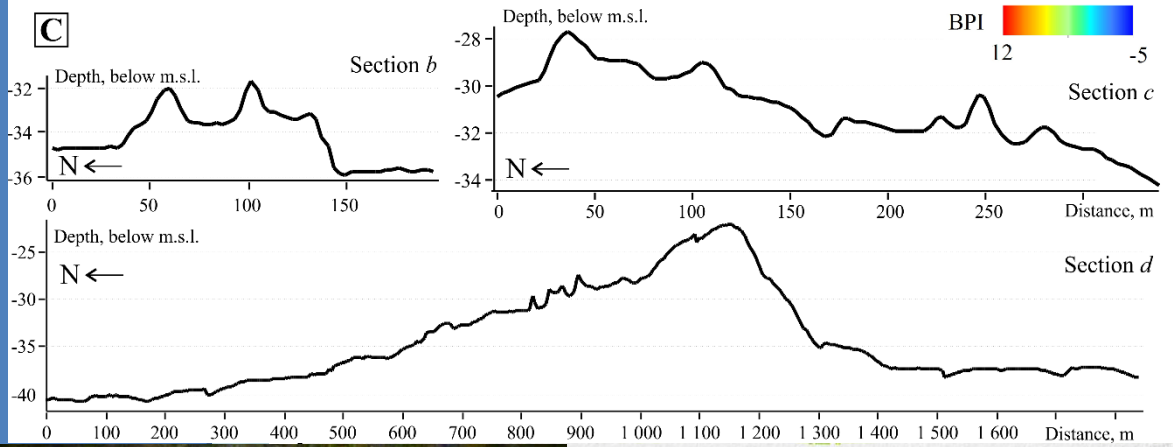
Расположение	Форма	Направление	Высота от пов.дна, м	Высота от подножия, м	Ширина в основании, м	Длина, м	Уго склона	Интервал между гребнями, м
Выборгский залив	Линейные	SSE–NNW (170°)	10–15	15-20	130–170	1000	5–20°	-

О-В Мощный

Линейные	SSE–NNW (170°)	10–15	15-20	130–170	1000	5–20°	-
----------	----------------	-------	-------	---------	------	-------	---







**Submerged marginal moraine, Vyborg Bay**  
**Краевая морена, Выборгский залив**



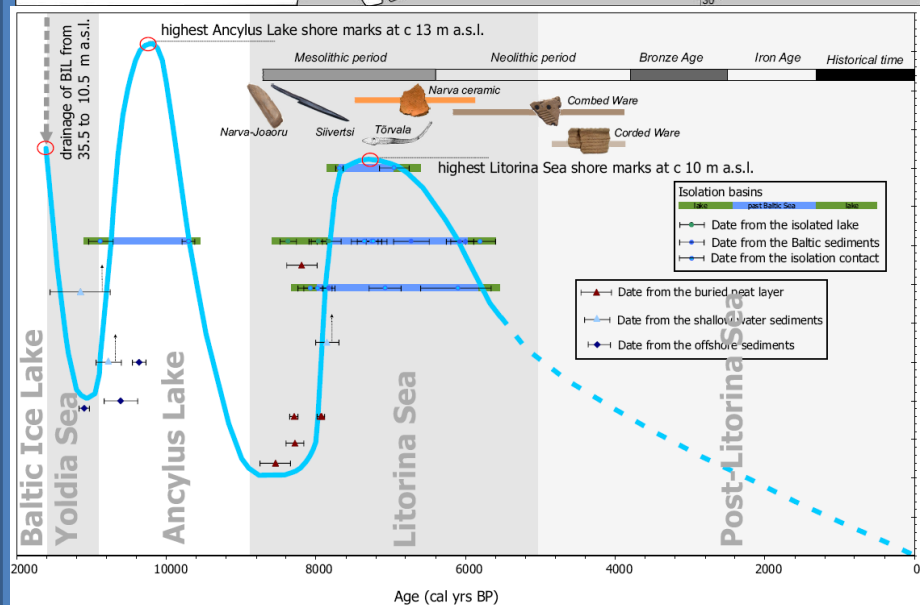
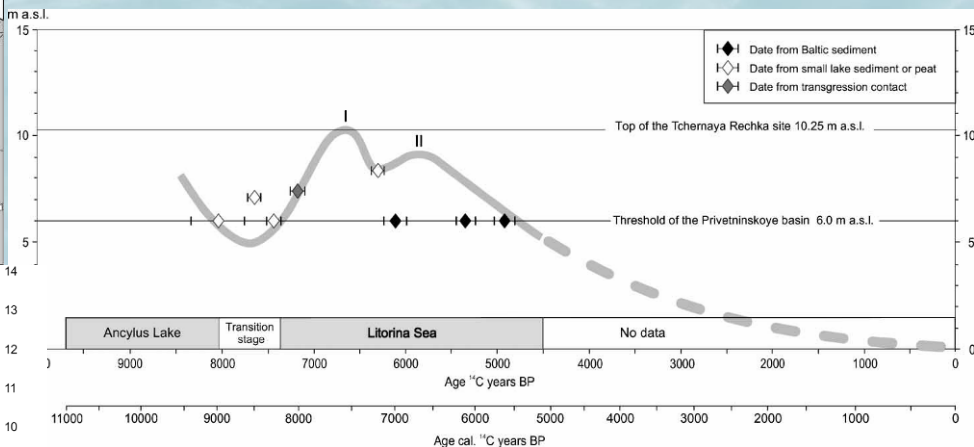
- 1. During repeated ice-sheets' advances within sedimentary rocks cover the shape of southern coastline was formed**
- 2. Deglaciation of the Gulf of Finland occurred between 13.5 and 11.5 ka BP with at least one stop (re-advance) and resulted in deposition of huge volume of sediments**
- 3. Glacial and glaciofluvial deposits are the main source of material for coastal zone development during Holocene**



# Holocene coastal zone development

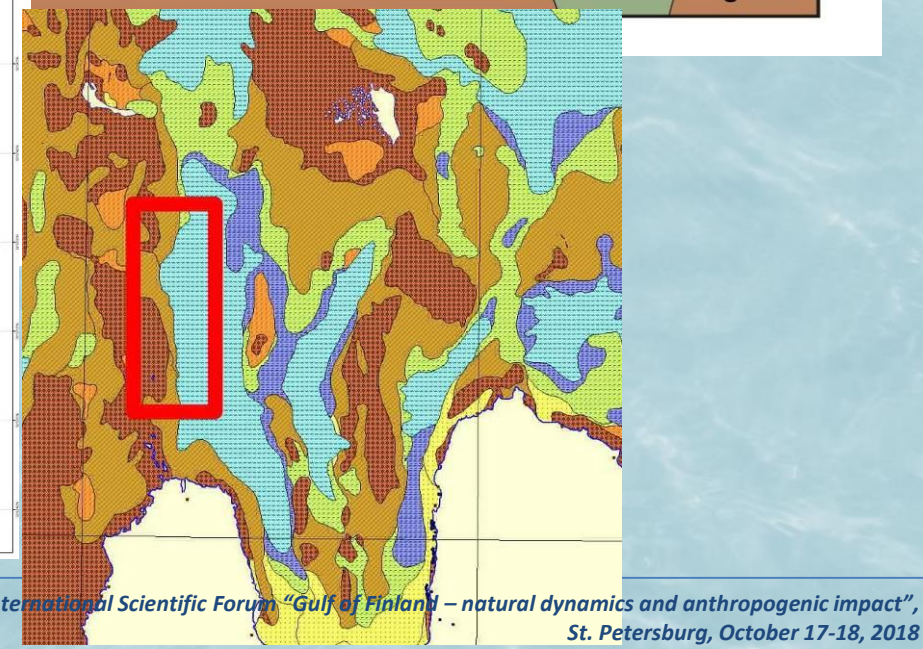
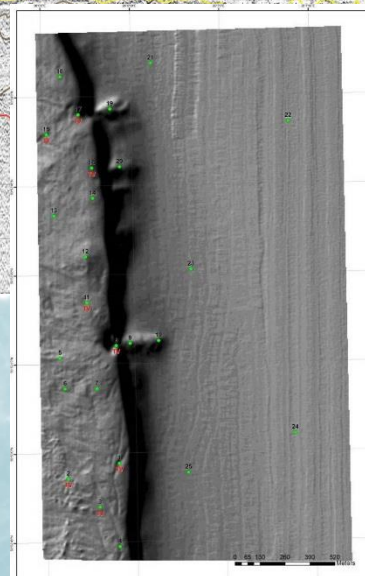
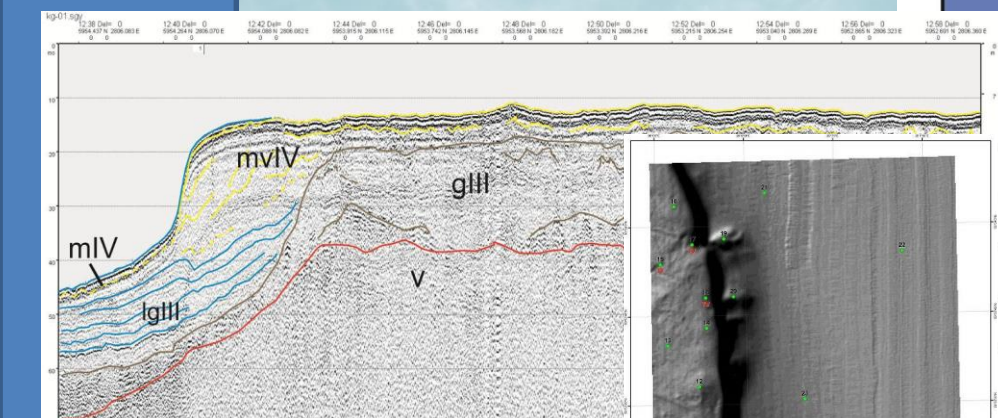
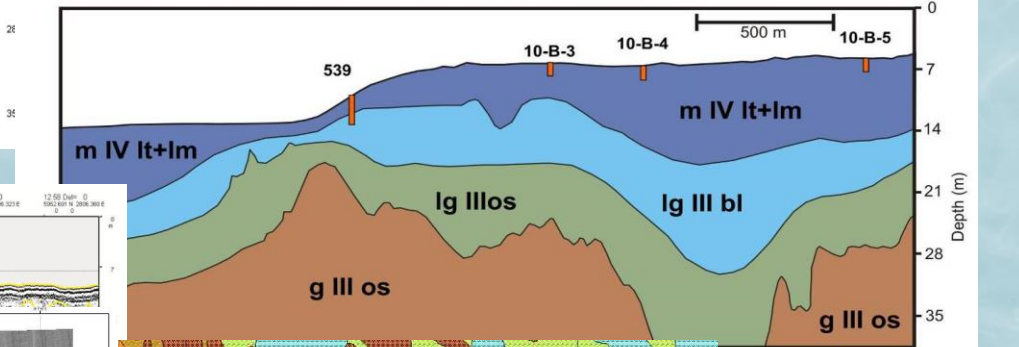
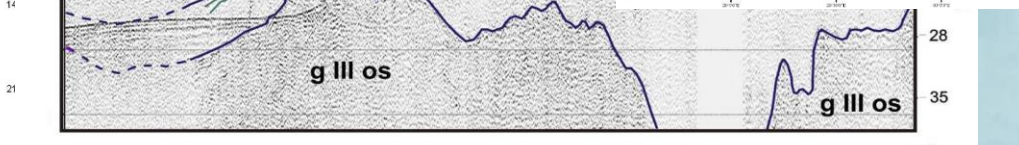
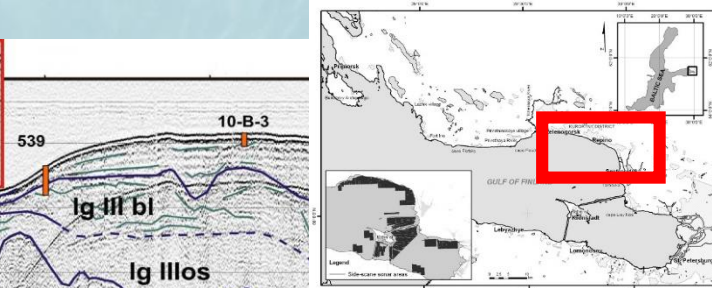
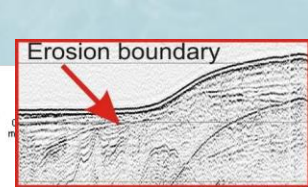
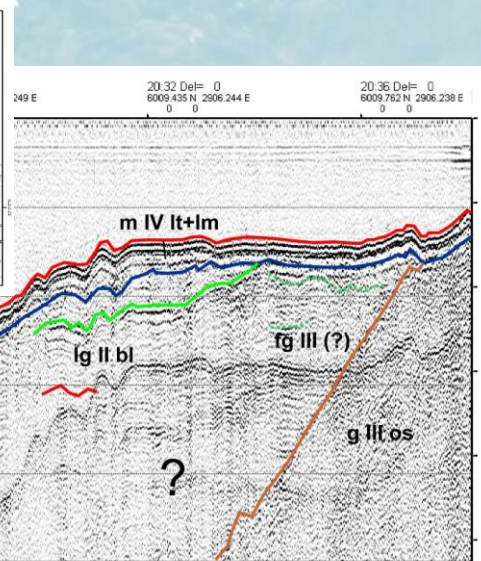
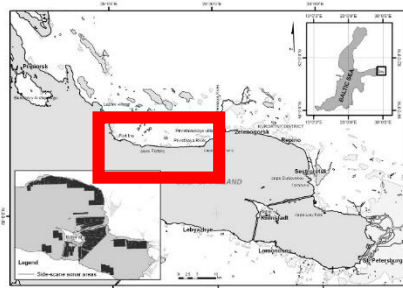
## Развитие береговых зон в голоцене

Miettinen, A., Savelieva, L., Subetto, D. A., Dzhinoridze, R., Arslanov, K. & Hyvärinen, H. 2007 (October): Palaeoenvironment of the Karelian Isthmus, the easternmost part of the Gulf of Finland, during the Litorina Sea stage of the Baltic Sea history.



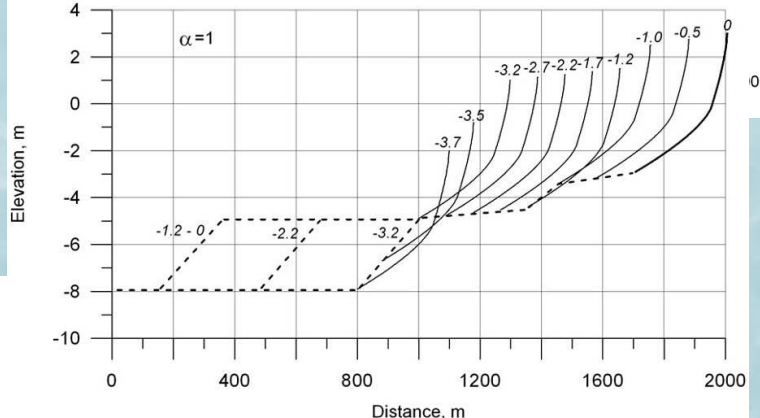
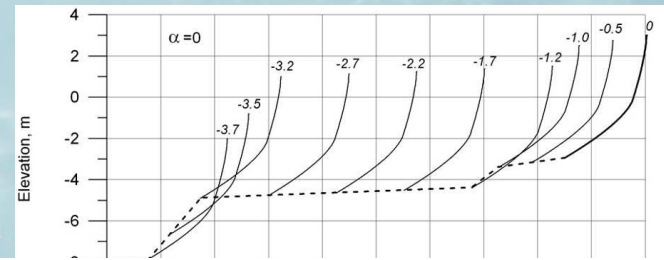
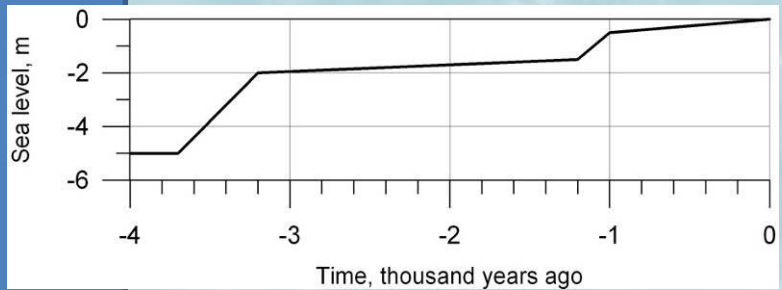
Rosentau, A., Subetto, D., Letjuka, N., Kriiska, A., Lisitsyn, S., Gerasimov, D., Nordqvist, K. Holocene water-level changes of the Baltic Sea in Narva-Luga klint bay area and its relations with stone age settlement pattern, 2010



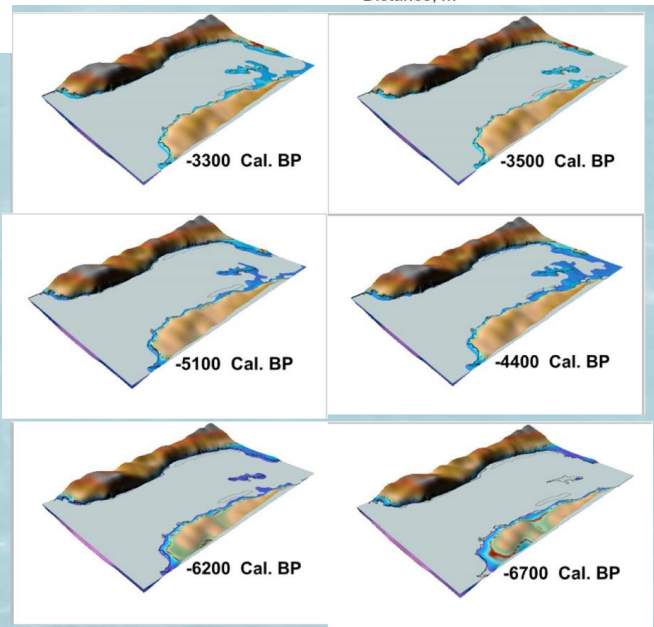
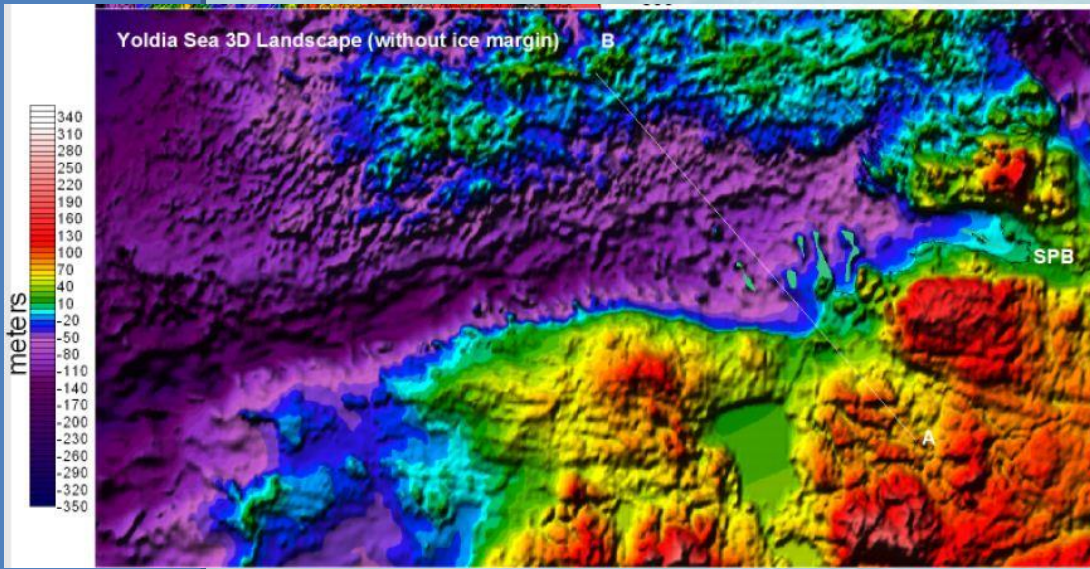




# Leont'yev, I. et al. Reconstruction of Late Holocene development of the submarine terrace in the Eastern Gulf of Finland. 2010



# Amantov et al., 2013. Possible role of glacioisostasy in peculiarities of lateglacial-postglacial sedimentation of the Eastern Gulf of Finland and Ladoga Lake

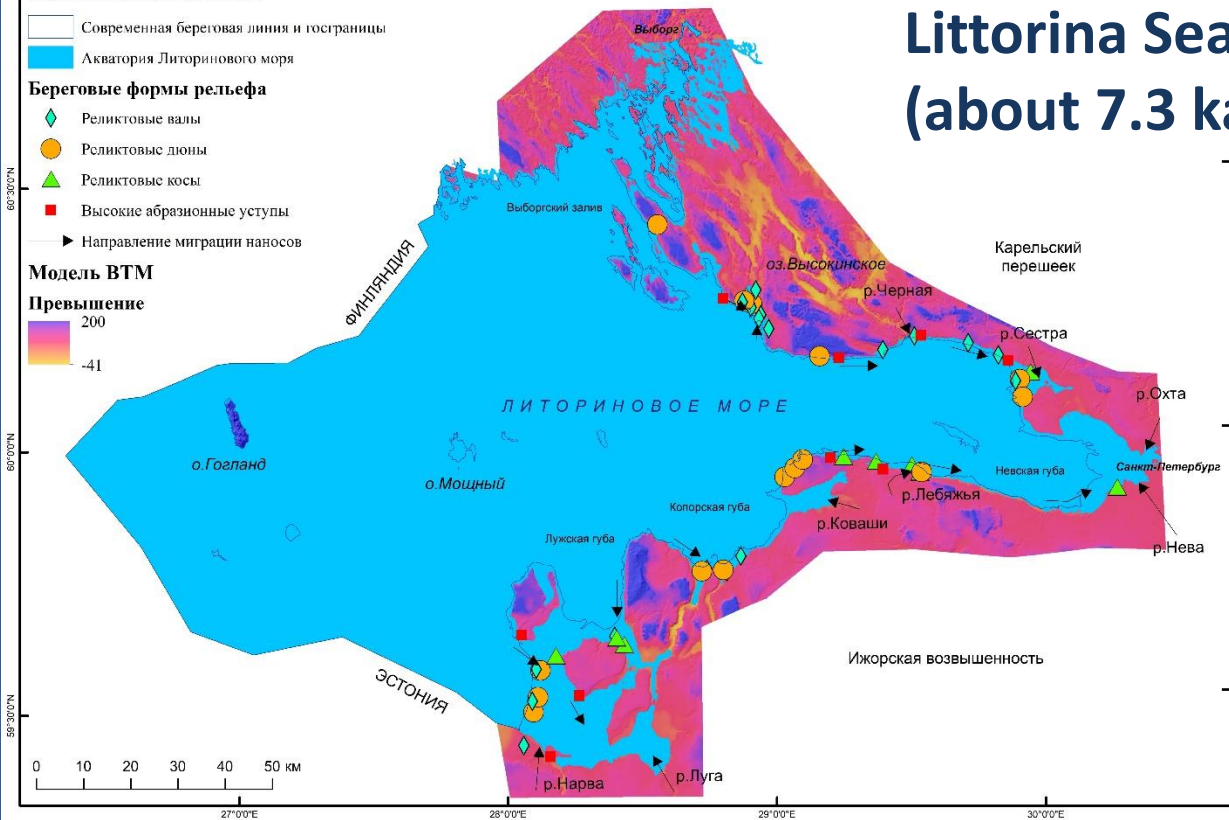
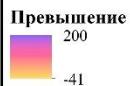




### Условные обозначения

- Современная береговая линия и госграницы
- Акватория Литоринового моря
- Береговые формы рельефа**
  - Реликтовые валы
  - Реликтовые дюны
  - Реликтовые косы
  - Высокие абразионные уступы
  - Направление миграции наносов

### Модель ВТМ

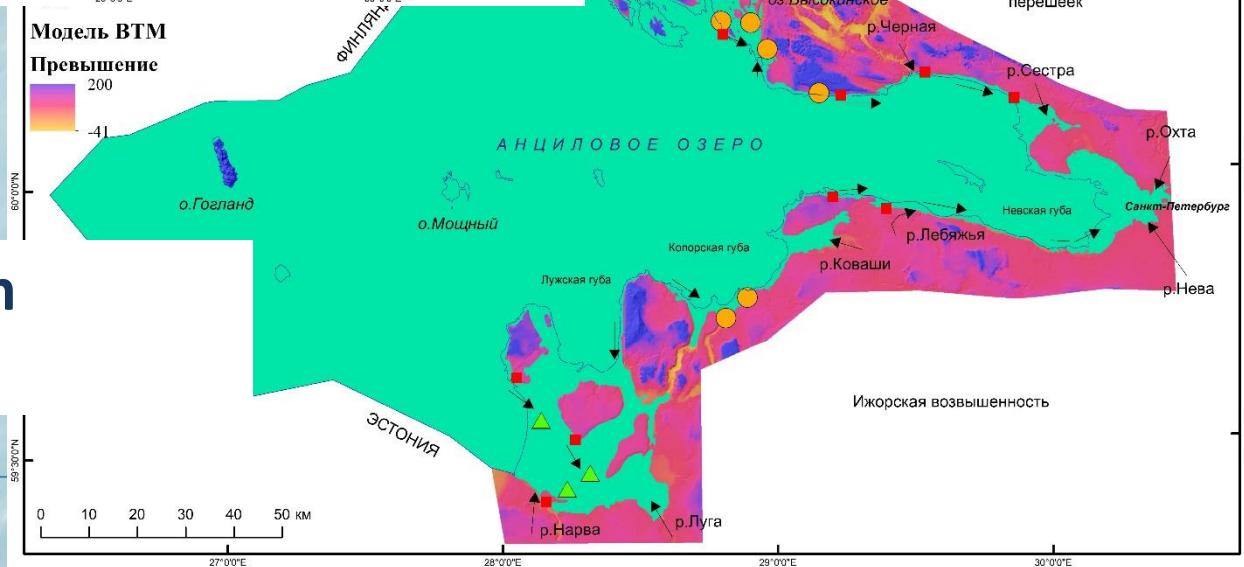


## Littorina Sea maximum (about 7.3 ka BP)

Kovaleva,  
Sergeev, 2018 (in  
preparation)

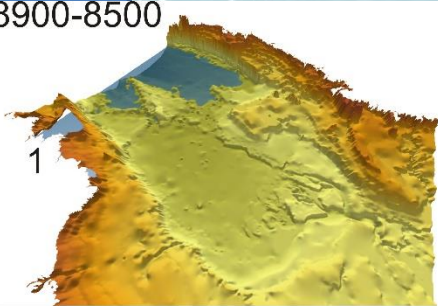
## Ancylus Lake maximum (about 10,8 ka BP)

### Модель ВТМ

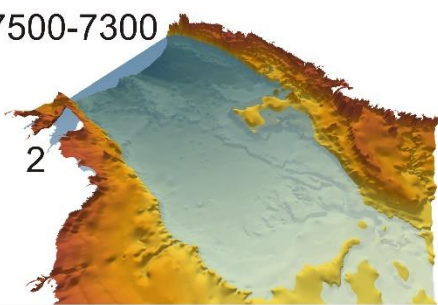




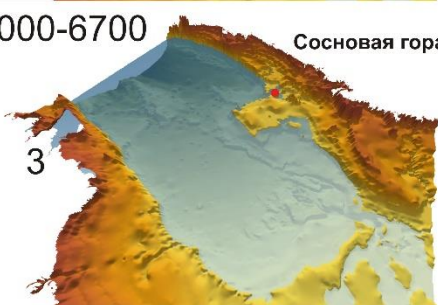
8900-8500



7500-7300



7000-6700



Сосновая гора



Сосновая гора

6300-6000



Сосновая гора  
Сосновая гора-1

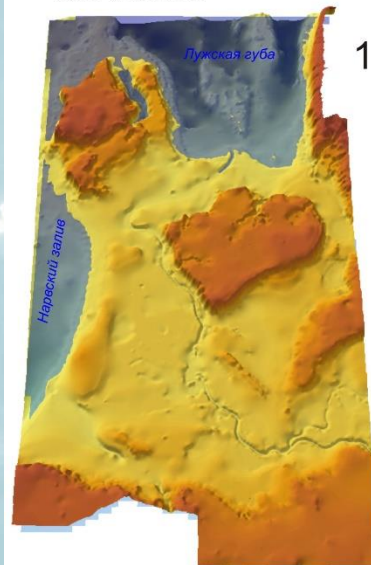
Охта-1



Сосновая гора  
Сосновая гора-1

Охта-1

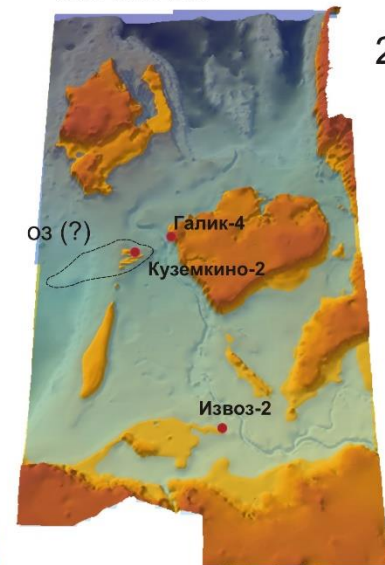
8900-8500 л.н.



Лужская губа

Нарвский залив

7500-7300 л.н.



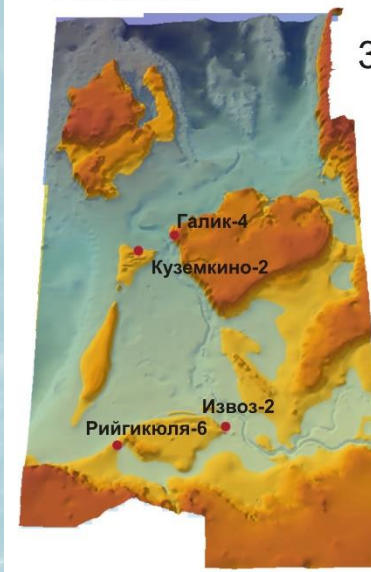
оз (?)

Галик-4

Куземкино-2

Извоз-2

7000-6700 л.н.



Галик-4

Куземкино-2

Извоз-2

Рийгикюля-6

6300-6000 л.н.



Куземкино-1

Галик-3

Галик-4

Куземкино-2

Рийгикюля-4,6

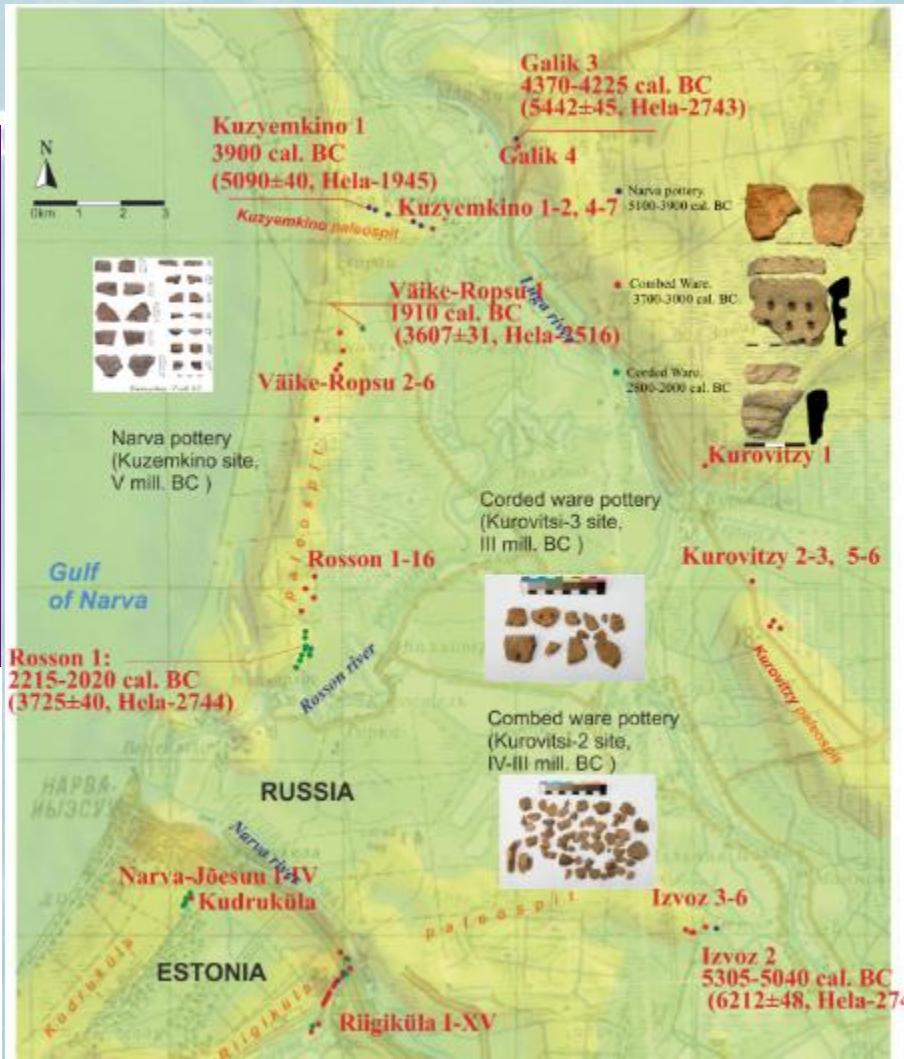
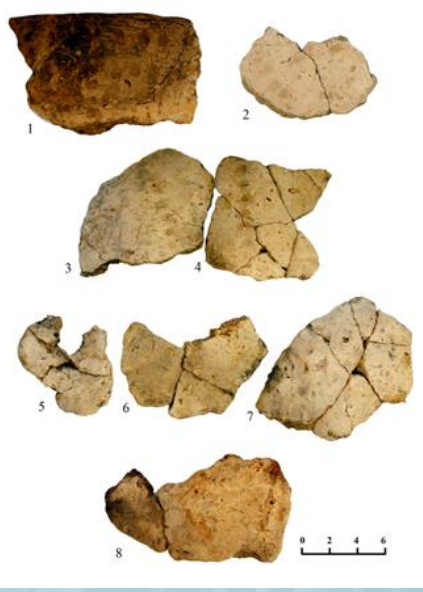
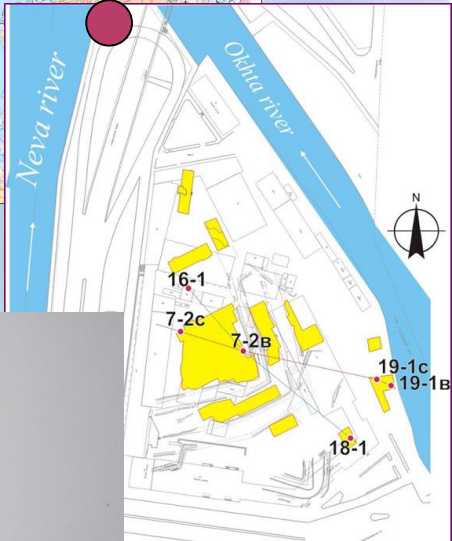
Извоз-2





# Okhta-1

Gusentsova et al., 2011



Gerasimov et al., 2013





- 1. Holocene EGoF coastal zone development controlled by alternation of several transgressions and regression. During the maximal stages of the Ancylus and Littorina transgressions vast areas of modern land were flooded.**
- 2. The lagoon systems and sand accretion bodies (spits and bars) were formed during the following decreasing of the sea level. During Holocene main glacial and glaciofluvial landforms of the coastal areas have been eroded**
- 3. Coastal processes of the EGoF have been very active since the beginning of Holocene but during Mesolithic and Neolithic time people was adjusting to the natural processes , following shifted coastline**



# Recent coastal dynamics

## Современная лито- и морфодинамика





# Recent coastal dynamics

## Современная лито- и морфодинамика

Sediment deficiency  
Boulder-pebble  
benches

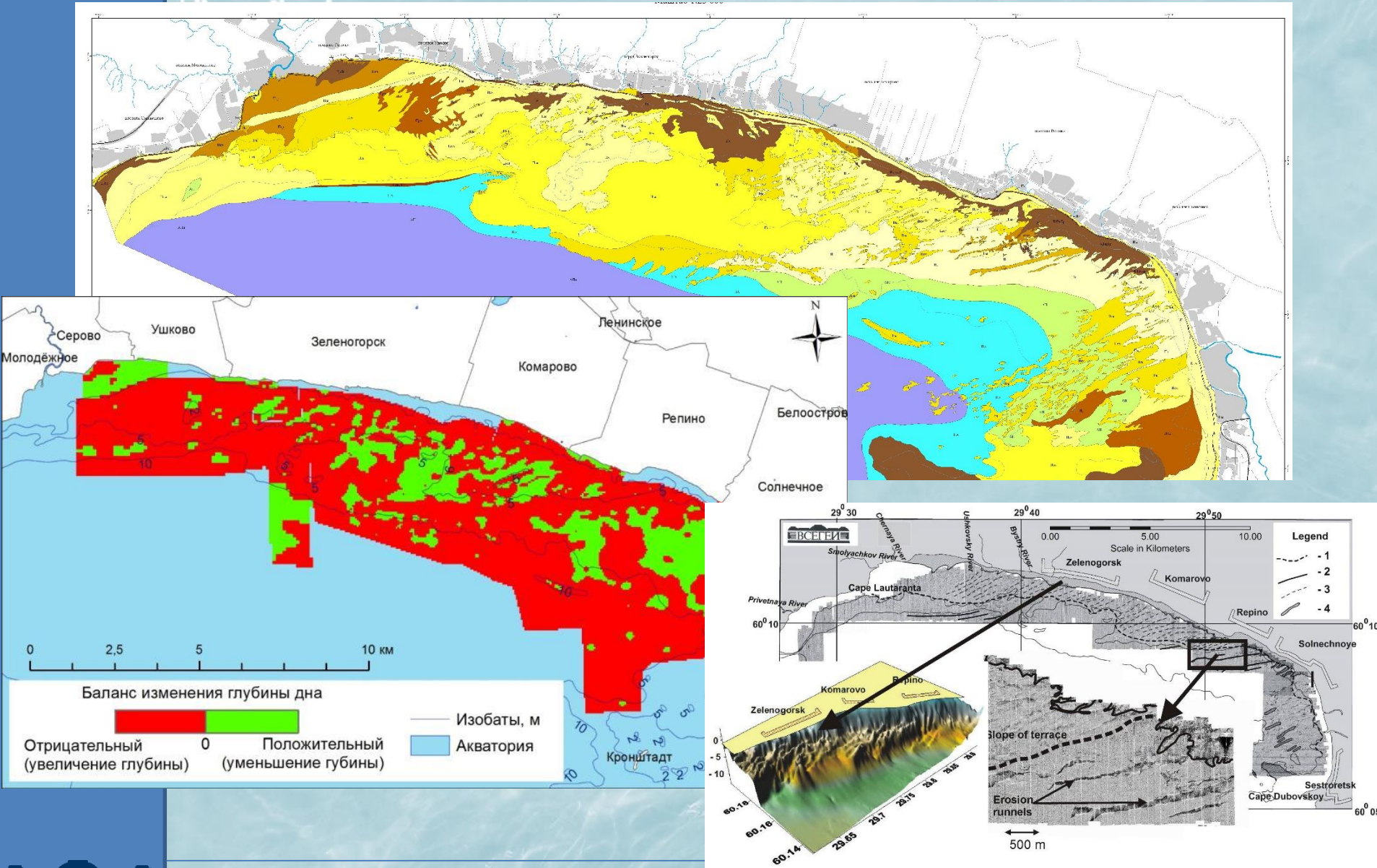
Дефицит осадочного  
материала в  
береговой зоне  
Валунные бенчи





# Intense erosion in nearshore

## Интенсивный размыв подводного берегового склона





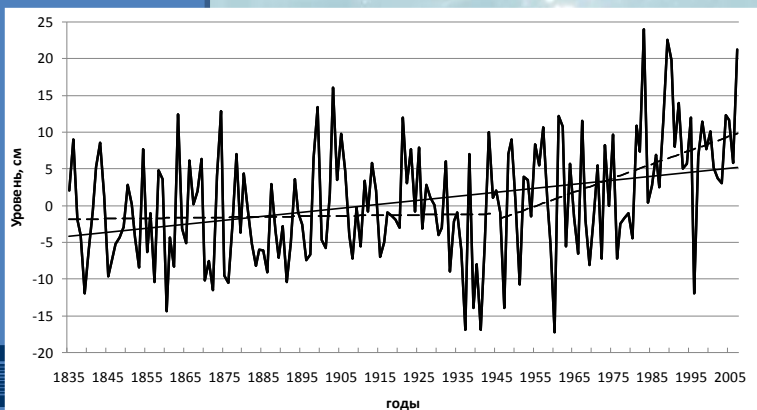
# Hydrometeorological factors

## Гидрометеорологические и гидрологические факторы

- (i) long-lasting western or south-western storms that bring high waves
- (ii) high water level (more than 2 m above the mean level as measured by the Gorny Institute WL measurement post),
- (iii) absence of stable sea ice during such events



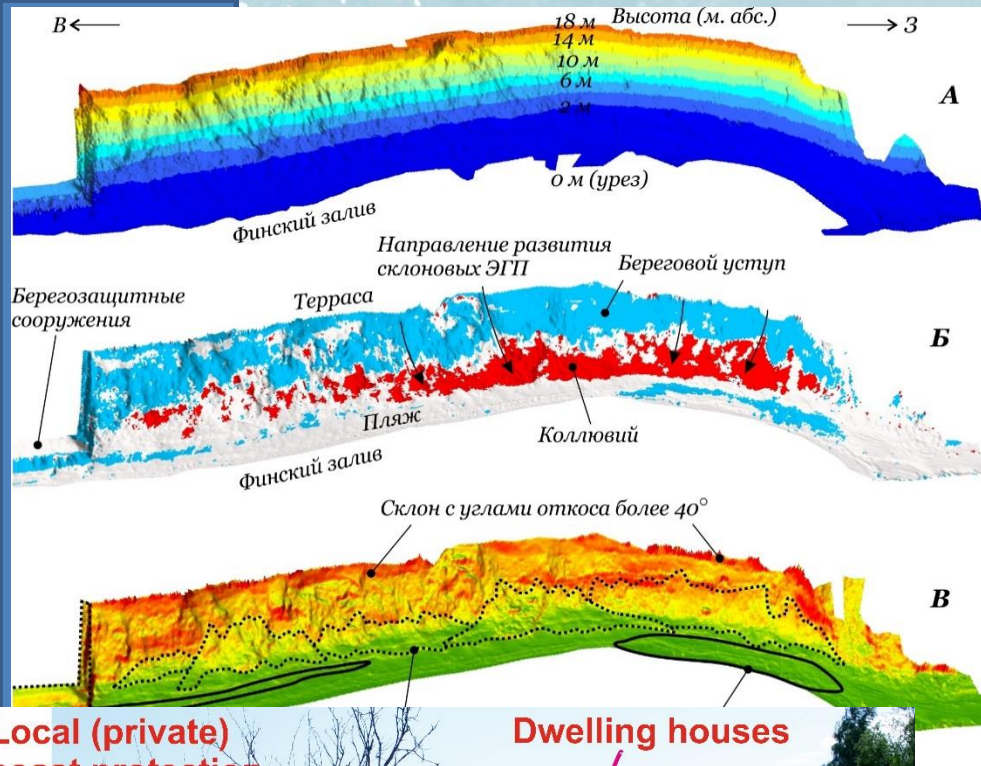
## Изменение уровня моря, Кронштадт Sea level change, Kronstadt



Опасные размывы берегов возникают при сочетании:

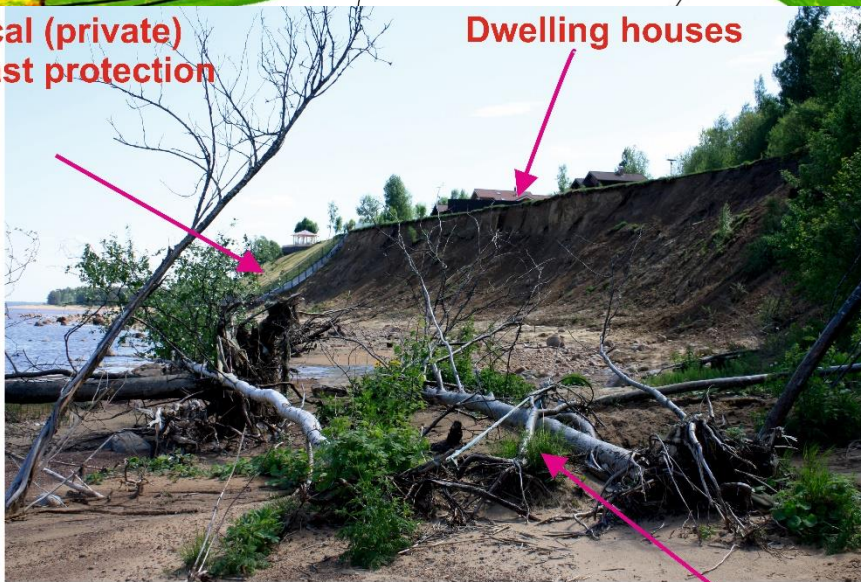
- (i) штормов западных и юго-западных направлений;
- (ii) повышения уровня воды (более 2 м по гидрологическому посту Горный Институт;
- (iii) отсутствия ледяного покрова



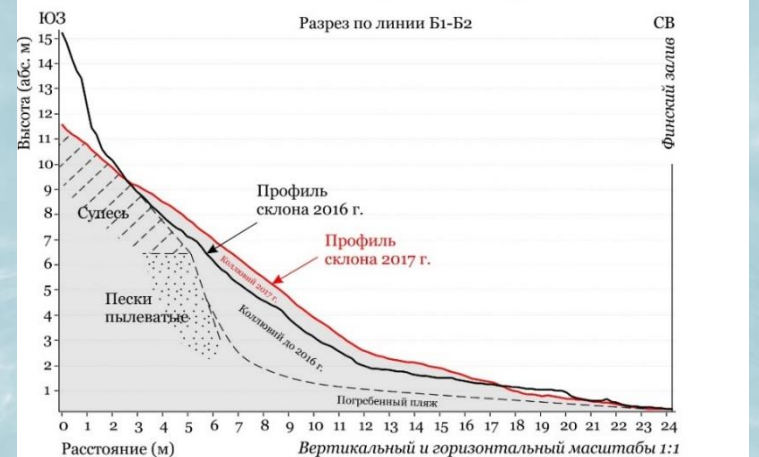
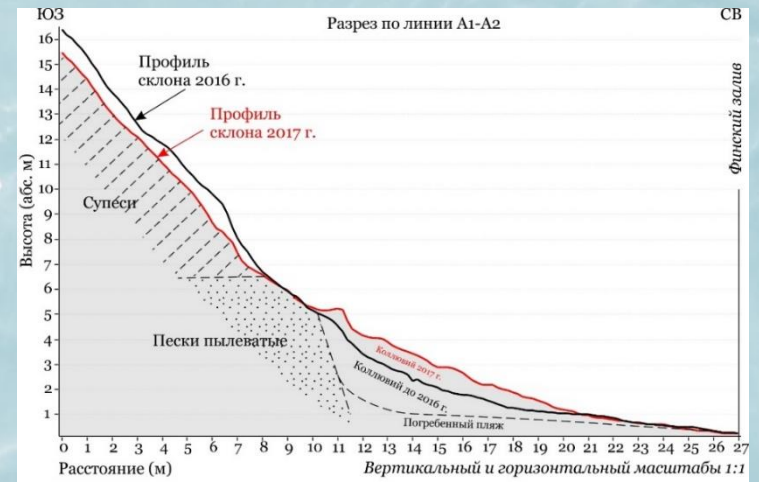


Local (private)  
coast protection

Dwelling houses



Landslide



Landslides caused by coastal  
erosion

Оползни, спровоцированные  
абразией



# Technogenic processes Техногенные процессы

## St Petersburg Flood Protection Facility



Комплекс защитных сооружений Санкт-Петербурга от наводнений



**October 29, 2013**

**To the west from the FPF**

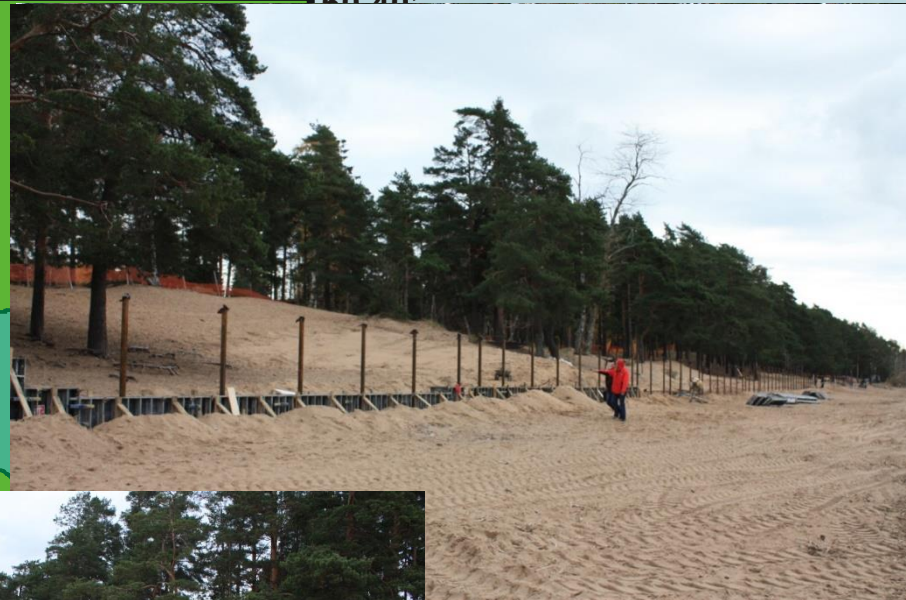
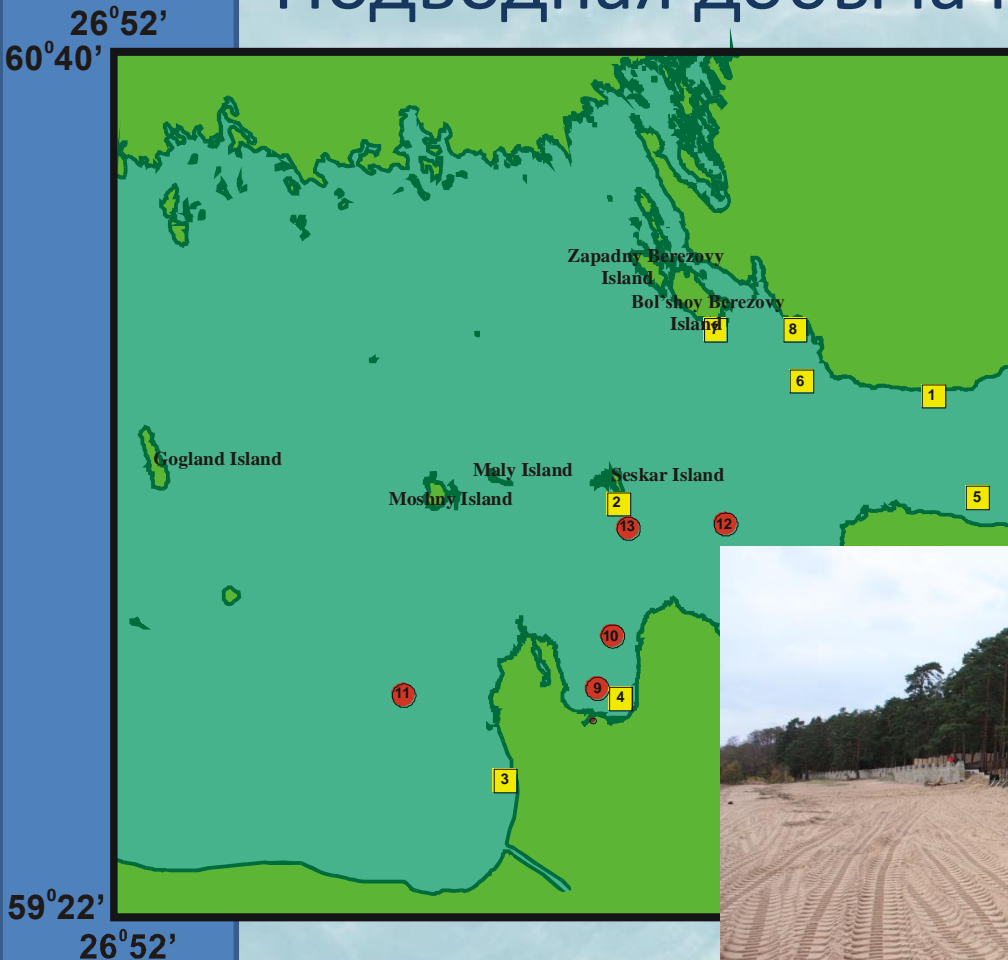


**Neva Bay**



# Exploration of submarine sand deposits, dyne destruction

## Подводная добыча песка, разрушение дюн





# Ineffective old system of coast protection Устаревшая неэффективная система берегозащиты







June 2014







September 14, 2017



# Conclusions

1. Eastern Gulf of Finland coastal zone is characterized by high intensity of hazardous exogenous processes (coastal erosion, landslides etc.).
2. Level of geological hazards caused mainly by natural factors (geology, relief, tectonics, hydrodynamic impact) and will be growing due to climate change.
3. Anthropogenic impact play very important role in coastal processes.
4. Marine erosion is a dominant geological hazard of the Eastern Gulf of Finland coastal zone. It lead to shoreline retreat, dune and beach erosion and loss of high valuable lands.
5. Realization of effective Coast Protection Program is urgently needed.





Thank you for attention!